

بهینه‌یابی سریع خرپا با استفاده از الگوریتم ژنتیک موازی تحت قید قابلیت اعتماد با بهبود روش جبری نیروها و هوش مصنوعی*

علی کاوه^(۱) وحیدرضا کلات جاری^(۲) پوریا منصوریان^(۳)

چکیده در بیش‌تر تحقیق‌های انجام‌شده در زمینه‌ی بهینه‌یابی سازه‌ها برای پرهیز از محاسبه‌های طولانی، احتمال خرابی سیستم سازه‌ای مستقیماً به‌طور محافظه‌کارانه از روی اعضا محاسبه شده است. بدیهی است که استفاده از این فرضیات محافظه‌کارانه در بهینه‌یابی منجر به نتایج نامطلوب اقتصادی می‌شود. هدف این مقاله ارائه‌ی چند راهکار برای تسریع بهینه‌یابی خرپا با استفاده از الگوریتم ژنتیک تحت قید قابلیت اعتماد سیستم سازه‌ای است. در راهکار اول در روش شاخه و کرانه با توجه به قوانین احتمال، معیاری برای کنار گذاشتن تعدادی از مسیرها و عدم تولید آن‌ها تعیین می‌شود. راهکار دوم بهبود روش جبری نیروها و استفاده از این روش سریع به‌جای روش مرسوم سختی است. راهکار سوم استفاده از عامل‌های هوش مصنوعی در شناسایی مسیرهای خرابی تکراری در تحلیل هر کروموزوم و هم‌چنین تعیین شایستگی به‌ترین کروموزوم‌های هر نسل است که منجر به جلوگیری از محاسبات اضافی و کاهش چشم‌گیر زمان محاسبات می‌شود. با استفاده از راهکار چهارم کروموزوم‌هایی که احتمال خرابی آن‌ها به مقدار قابل توجهی بیش‌تر یا کم‌تر از مقدار مجاز است، در حین تحلیل شناسایی می‌شوند و تحلیل آن‌ها در همان مرحله و بسیار زودتر از موعد تمام می‌شود. راهکارهای اول، سوم و چهارم با اندکی تغییر قابل تعمیم به قاب‌ها خواهد بود. در این تحقیق به تحلیل قابلیت اعتماد و بهینه‌یابی خرپای ۲۵ میله‌ای و گنبد ۱۲۰ میله‌ای پرداخته شد که در نتیجه‌ی استفاده از راهکار اول، در زمان بسیار کوتاه کران احتمال خرابی باریک‌تری تعیین شد و هم‌چنین استفاده از هر یک از سایر راهکارها منجر به کاهش حجم و زمان محاسبات گردید.

واژه‌های کلیدی قابلیت اعتماد، احتمال خرابی سیستم سازه‌ای، روش جبری بهبود یافته‌ی نیروها، روش شاخه و کرانه، هوش مصنوعی.

Fast Reliability-Based Optimization Using Parallel Genetic Algorithm, Developed Force Method and Artificial Intelligence

A. Kaveh V.R. Kalatjari P. Mansourian

Abstract The aim of this paper is to present four strategies to increase the accuracy and speed of optimization of truss structures under the constraint of Structural System Failure Probability (SSFP). In the first strategy based on the probability rules, a criterion is defined to avoid producing many correlated paths and obtain more accurate upper bound of SSFP. In the second strategy, the force method formulation is improved and employed to analyze trusses with different topologies. In the third strategy two intelligent agents are utilized to identify the repeated paths and determine the fitness of the best chromosomes in each generation. Using the fourth strategy, the chromosomes, whose SSFP is much larger or smaller than the allowable value, are identified during the analysis and the analysis is terminated at that stage.

Keywords Reliability Analysis, Structural System Failure Probability, Improved Algebraic Force Method, Branch and Bound Method, Artificial Intelligence.

*تاریخ دریافت مقاله ۸۹/۷/۲۸ و تاریخ پذیرش آن ۹۱/۹/۲۷ می‌باشد.

(۱) نویسنده‌ی مسؤل: استاد، دانشکده عمران، دانشگاه علم و صنعت ایران.

(۲) استادیار، دانشکده عمران و معماری، دانشگاه صنعتی شاهرود.

(۳) استادیار، دانشکده عمران و معماری، دانشگاه صنعتی شاهرود.

مقدمه

برای اطمینان از عملکرد صحیح یک سازه ابتدا باید عواملی را که باعث ایجاد عدم قطعیت می شوند، بادقت شناسایی کرد. در بسیاری از سازه‌ها بارهای وارد، جنس مصالح و غیره کمیت‌های غیر قطعی هستند و همواره به‌طور تخمینی در مسائل در نظر گرفته می شوند. ماهیت تصادفی این متغیرها باعث ایجاد یک فضای احتمالاتی در روند تحلیل و طراحی سازه‌ها می شود.

اولین راه برای در نظر گرفتن این عدم قطعیت‌ها، استفاده از ضرایب ایمنی بار و مقاومت است. در این حالت کمیت‌های مسئله مانند بار و مقاومت در ضرایب ایمنی نظیر خود ضرب می شود و طراحی صورت می پذیرد. این نوع طراحی اولین سطح طراحی براساس نظریه‌ی قابلیت اعتماد سازه‌ها است. این سطح طراحی صرفاً برای طراحی یک عضو سازه‌ای منفرد کاربرد دارد و اندرکنش اعضای سازه را در نظر نمی گیرد.

در سطوح پیشرفته‌تر نظریه قابلیت اعتماد (سطوح دوم و سوم) کمیت‌های مسئله همراه با واریانس یا تابع چگالی احتمال خود در تحلیل و طراحی در نظر گرفته می شوند. در این حالت ابتدا تعریفی برای خرابی در نظر گرفته می شود، سپس تابع حالت حدی به صورت تفاضل مقاومت و بار تعریف می گردد. پس از آن احتمال خرابی سیستم سازه‌ای با توجه به همبستگی‌های میان کمیات مسئله قابل تعیین است.

بهینه‌یابی سازه‌ها تحت قید قابلیت اعتماد سیستم سازه‌ای، بالاترین سطح مسائل (سطح چهارم) در زمینه‌ی قابلیت اعتماد است [۱]. در این حالت هدف پیدا کردن سازه‌ای با کم‌ترین وزن است، به طوری که احتمال خرابی سیستم آن از مقدار معینی تجاوز نکند.

در چند دهه‌ی اخیر محققان متعددی در زمینه‌ی قابلیت اعتماد فعالیت داشته و روش‌های گوناگونی برای تعیین احتمال خرابی سیستم‌های سازه‌ای ارائه کرده‌اند. یکی از متداول‌ترین این راه‌ها، تعیین احتمال خرابی سیستم سازه‌ای از طریق تعیین مسیرهای

خرابی است. روش شاخه و کرانه (branch and bound method) [2] و روش مسیرهای کوتاه شده (truncated enumeration method) [3] از معروف‌ترین این روش‌ها به‌شمار می روند.

در این روش‌ها ابتدا مسیرهای محتمل خرابی از مسیرهای کم اهمیت جدا می شود و کران بالا و پایین احتمال خرابی سیستم سازه‌ای بر اساس مسیرهای خرابی محتمل برآورد می گردد. استفاده از این روش‌ها با مشکلاتی همراه است که عمده‌ترین معایب آن، زمان زیاد لازم برای تعیین مسیرهای خرابی و اختلاف زیاد کرانه‌ای بالا و پایین است. برخی از محققان تلاش‌هایی برای رفع این مشکلات انجام داده‌اند [4]، لیکن هنوز امکان استفاده از این روش‌ها در مسائل بهینه‌یابی سازه‌ها با توجه به زمان‌بر بودنشان وجود ندارد.

بنابراین بسیاری از محققان برای تعیین احتمال خرابی سیستم سازه‌ای و استفاده از آن در مسائل بهینه‌سازی از فرضیات ساده‌کننده و محافظه‌کارانه استفاده کرده‌اند. کریستنسن و موروتسو [2]، توغان و دالغلو [5,6] و قاسمی، قلعه‌نوی و مستخدمین حسینی [۷] با یک فرض ساده‌کننده و محافظه‌کارانه، احتمال خرابی کل خرابی را برابر با مجموع احتمال خرابی اعضای آن در نظر گرفتند. آن‌ها با استفاده از این فرض ساده‌کننده به بهینه‌یابی سازه‌های خرابی پرداختند.

بدیهی است استفاده از این فرضیات محافظه‌کارانه در بهینه‌یابی منجر به نتایج نامطلوب اقتصادی می شود. برای رفع این نقیصه در این تحقیق چهار راهکار ارائه شده است که با استفاده از آن‌ها جواب بهینه با فرضیاتی منطقی‌تر و واقعی‌تر تعیین می شود و از طرف دیگر زمان محاسبات به نحو قابل توجهی کاهش می یابد.

در راهکار اول برای تعیین احتمال خرابی یک مسیر، عضوی که خرابی آن و خرابی عضو اول مسیر کوچک‌ترین احتمال مشترک را پدید می آورند، شناسایی می شود. سپس کلیه مسیرهای بعدی که از عضو شناسایی شده منشعب می شوند، کنار گذاشته

مسیرهای خرابی و شناسایی مسیرهای تکراری در تحلیل قابلیت اعتماد هر کروموزوم است. با شناسایی مسیرهای خرابی تکراری و جلوگیری از انجام محاسبات اضافی برای آن‌ها، در زمان محاسبات صرفه‌جویی می‌شود. یکی از محاسن فاز اول راهکار سوم این است که از مسیرهای خرابی تعیین شده برای کروموزوم اول نسل اول می‌توان برای سایر کروموزوم‌های نسل‌های بعدی الگوریتم ژنتیک استفاده کرد.

در فاز دوم از عامل هوشمند یادگیرنده در جلوگیری از محاسبات اضافی در تعیین شایستگی کروموزوم‌های هر نسل استفاده شده است. در بهینه‌یابی با استفاده از الگوریتم ژنتیک پس از گذشت چند نسل، تعداد کروموزوم‌های تکراری افزایش می‌یابد. حتی ممکن است از یک کروموزوم خاص چندین کپی در جمعیت یک نسل موجود باشد. با استفاده از عامل هوشمند فاز دوم فقط یک‌بار این کروموزوم‌ها تحلیل و شایستگی آن‌ها ذخیره می‌شود. و در صورت تکرار این کروموزوم‌ها در نسل‌های بعدی، مورد شناسایی قرار می‌گیرند و از تحلیل‌های تکراری جلوگیری می‌شود. راهکار سوم در نسل‌های پایانی الگوریتم ژنتیک نقش بسیار مؤثری دارد.

در راهکار چهارم از مقدار احتمال خرابی مجاز (قید مسأله‌ی بهینه‌یابی) برای کاهش حجم محاسبات در تعیین احتمال خرابی کروموزوم‌ها استفاده می‌شود. با استفاده از این راهکار کروموزوم‌هایی که احتمال خرابی آن‌ها به مقدار قابل توجهی بیش‌تر یا کم‌تر از مقدار مجاز است، در حین تحلیل شناسایی و تحلیل آن‌ها در همان مرحله و بسیار زودتر از موعد تمام می‌شود. این راهکار در نسل‌های اول الگوریتم ژنتیک که جمعیت آن هنوز ماهیت تصادفی دارد، از کاربرد بیش‌تری برخوردار است.

در ادامه هر یک از راهکارها تشریح می‌شود. پس از آن ارتباط بین آن‌ها مورد بحث و بررسی قرار

می‌شود. عدم تولید این مسیرها باعث صرفه‌جویی بسیار قابل توجهی در زمان محاسبات می‌شود.

در راهکار دوم با بهبود در روابط روش جبری نیروها (Algebraic force method) امکان استفاده از آن برای خرابی‌های با توپولوژی متغیر ایجاد می‌شود. روش جبری نیروها در تحلیل خرابی‌ها در دو مورد نسبت به روش مرسوم سختی برتری دارد. اول این‌که نیروهای اعضا به‌طور مستقیم و بدون واسطه تعیین می‌شود و به همین دلیل برای تحلیل قابلیت اعتماد کارایی مناسبی دارد. مزیت دوم این‌که روش نیروها نیاز به حل دستگاه معادلات با بعد کوچک‌تری دارد (به تعداد مجهولات اضافی به‌جای تعداد درجات آزادی فعال در روش سختی). بنابراین این روش برای مسائلی مانند بهینه‌یابی که در آن‌ها نیاز به تحلیل مکرر خرابی وجود دارد، کارایی بیشتری دارد [8, 9]. هم‌چنین ماتریس‌های B_0 و B_1 که در این روش برای تعیین نیروهای اعضا به‌کار می‌روند (در ادامه تشریح خواهد شد)، مستقل از خصوصیات مصالح و سطح مقطع اعضا است. بنابراین کافی است فقط یک بار این ماتریس‌ها برای یک خرابی محاسبه شوند و پس از آن می‌توان به کرات در تحلیل این خرابی با سطوح مقطع متفاوت و با توپولوژی یکسان از آن‌ها استفاده کرد [8, 9].

برای تعیین احتمال خرابی یک خرابی نامعین مستلزم باید تحلیل‌های مکرر خرابی پس از حذف هر میله‌ی آن تا رسیدن به ناپایداری صورت پذیرد. خرابی‌های به وجود آمده در اثر حذف پی‌ای میله‌ها از لحاظ توپولوژی با یکدیگر تفاوت دارند.

در این تحقیق از روابط روش نیروها به گونه‌ای استفاده شده است که بتوان از آن در تحلیل خرابی با توپولوژی متفاوت استفاده نمود و در نتیجه با جلوگیری از تحلیل‌های تکراری، سرعت محاسبات را بالا برد.

راهکار سوم استفاده از تکنیک‌های هوش مصنوعی است. در این تحقیق در دو فاز متفاوت از عامل‌های هوشمند استفاده می‌شود. فاز اول ذخیره‌سازی

داده است. احتمال وقوع یک مسیر در مرحله i ام شامل اعضای حذف شده r_1 تا r_{i-1} از رابطه‌ی (۲) به دست می‌آید.

$$P_i = P\left\{\bigcap_{j=1}^i (F_r^{(j)})\right\} \quad (2)$$

روند فوق تا مرحله‌ی F که سازه ناپایدار می‌شود ادامه می‌یابد. تعیین احتمال مشترک رابطه‌ی (۲) زمانی که تعداد اعضا از ۳ بیش تر باشد بسیار دشوار و زمان‌بر است [2]. در این حالت معمولاً از روابط تقریبی استفاده می‌شود. در این مقاله از رابطه‌ی (۳) برای تخمین احتمال خرابی هر مسیر استفاده شده است [12].

$$P_{F_r} = \text{Min}\{P_{r_{1,2}}, P_{r_{1,3}}, \dots, P_{r_{1,F}}\};$$

$$P_{r_{i,j}} = P(F_r^{(i)} \cap F_r^{(j)}); j=2, \dots, F \quad (3)$$

مزیت استفاده از فرمول تقریبی فوق این است که نیازی به ذخیره‌سازی داده‌های مربوط به کلیه‌ی مراحل عملیات شاخه‌ای نیست و فقط لازم است نتایج مربوط به مرحله‌ی اول یعنی سازه‌ی اولیه ذخیره شود.

تنظیم کران‌های پایین و بالا. بر اساس روش کرنل احتمال خرابی سازه‌ی بزرگ‌تر یا مساوی حداکثر احتمال خرابی کلیه‌ی مسیرها و کوچک‌تر یا مساوی مجموع احتمالات خرابی مسیرها است. لذا در روش شاخه و کرانه طبق روش کرنل کران بالا و پایین احتمال خرابی یعنی P_{fs}^L و P_{fs}^U به شرح زیر تعیین می‌شود.

کران پایین. پس از تخمین احتمال خرابی هر مسیر جدید $P_{f,new}$ در حین عملیات شاخه‌ای (از رابطه‌ی ۳) شرط زیر کنترل می‌شود.

آیا $P_{f,new}$ از احتمال محتمل‌ترین مسیری که تاکنون به دست آمده یعنی $\text{Max}P_f$ بزرگ‌تر است یا خیر؟ در صورت مثبت بودن پاسخ، مقدار $P_{f,new}$ در $\text{Max}P_f$ قرار داده می‌شود.

می‌گیرد و در انتها با ذکر مثال‌هایی تأثیر و کارایی آن‌ها ارزیابی می‌شود.

احتمال خرابی سیستم‌های سازه‌ای

یکی از تعاریف خرابی برای سازه‌ها رسیدن به ناپایداری کلی است. در حالت کلی یک سازه از مسیرهای گوناگونی به ناپایداری می‌رسد، لیکن احتمال وقوع این مسیرهای خرابی با یکدیگر متفاوت است. بسیاری از این مسیرها احتمال وقوع بسیار کوچکی دارد به طوری که محاسبه‌ی آن‌ها تأثیری در ارزیابی احتمال خرابی کل سازه ندارد و فقط زمان تحلیل را افزایش می‌دهد. در نتیجه معمولاً احتمال خرابی سیستم‌های سازه‌ای با کنار گذاشتن این مسیرها و در نظر گرفتن مسیرهای خرابی محتمل و با استفاده از کرانه‌های متداول نظیر کرنل، دیتلفسن یا غیره تعیین می‌شود [10, 11].

نحوه‌ی تولید مسیرهای خرابی و تعیین احتمال آن‌ها با توجه به همبستگی‌های موجود در مراجع [2,12] قابل مطالعه است.

روش شاخه و کرانه. در این مقاله برای شناسایی مسیرهای خرابی حاکم و تعیین احتمال خرابی سیستم خرابی‌های نامعین از روش شاخه و کرانه استفاده شده است [2].

عملیات شاخه‌ای. در عملیات شاخه‌ای، عضو (r_i) در مرحله‌ی i ام از یک مسیر چنان انتخاب می‌شود که خرابی آن نسبت به سایر اعضای باقیمانده، بیش‌ترین احتمال مشترک را با خرابی اولین عضو آن مسیر یعنی r_1 داشته باشد.

$$P(F_r^{(1)} \cap F_r^{(i)}) = \max\{P(F_r^{(1)} \cap F_j^{(i)})\} \\ j = \{\text{survived members}\} \quad (1)$$

بالا نویس i در رابطه‌ی فوق نشان دهنده‌ی خرابی است که اعضای r_1 تا r_{i-1} خود را از دست

باشد، با اضافه شدن عضوهای بعدی احتمال آن کوچکتر هم خواهد شد. لذا در همین مرحله می توان نتیجه گرفت که مسیر یادشده نمی تواند مسیر مناسبی باشد. به عمل حذف مسیرهای با احتمال کوچکتر، عمل کرانه‌ای یا شاخه‌ای می گویند. انتخاب مقدار η بستگی به دقت مسأله و نظر طراح دارد. هرچه مقدار η بزرگتر در نظر گرفته شود تعداد مسیرهای صرف نظر شده کمتر بوده و دقت محاسبات بالاتر. از طرف دیگر می توان نتیجه گرفت که محتمل ترین مسیری که در عملیات کرانه‌ای کنار گذاشته شده است، احتمال وقوع کوچکتری نسبت به 10^{-n} دارد. عملیات شاخه و کرانه تا جایی ادامه می یابد که دیگر هیچ عضوی برای انتخاب وجود نداشته باشد.

روش جبری نیروها در تحلیل استاتیکی سازه‌ها

روابط اصلی و تاریخچه‌ی روش جبری نیروها را می توان در مراجع [13,14] پیدا نمود. کاوه و کلات جاری در سالهای ۲۰۰۲ و ۲۰۰۴ در مراجع [8,9] با ارائه‌ی فرمول‌بندی به‌تر در روش جبری نیروها، از آن در بهینه یابی خرپاها توسط الگوریتم ژنتیک استفاده کردند. پس از آن رهامی، کاوه و قلی‌پور [15] از روش مجتمع نیروها و روش‌های انرژی در بهینه‌سازی توپولوژی خرپاها توسط الگوریتم ژنتیک استفاده کردند.

در روش نیروها معادلات تعادل کل سازه، مستقل از خصوصیات مکانیکی مصالح به‌صورت رابطه‌ی ماتریسی زیر قابل بیان است :

$$P_{n \times 1} = H_{n \times m} \cdot r_{m \times 1} \quad (8)$$

در رابطه‌ی بالا n برابر درجات آزادی فعال گرهی، m برابر تعداد اعضا، P بردار n بعدی بارهای گرهی، H ماتریس تعادل $n \times m$ و r بردار m بعدی نیروهای عضوی است. هر یک از سطرهای ماتریس H ، رابطه‌ی تعادل نیروهای اعضای متصل به گره مربوط با بارهای خارجی در جهت درجه‌ی آزادی مفروض را بیان

$$\text{if } P_{f, \text{new}} > \text{Max}P_f \Rightarrow \text{Max}P_f = P_{f, \text{new}} \quad (4)$$

طبق مطالب بیان‌شده P_{fs}^L برابر با احتمال محتمل ترین مسیر خرابی است. بنابراین در پایان عملیات شاخه و کرانه مقدار $\text{Max}P_f$ به‌عنوان کران پایین احتمال خرابی سیستم سازه‌ای در نظر گرفته می شود.

$$P_{fs}^L = \text{Max}P_f \quad (5)$$

کران بالا. پس از تعیین $P_{f, \text{new}}$ مطابق آنچه گفته شد این مقدار با مجموع احتمالات خرابی مسیرهایی که تاکنون به‌دست آمده یعنی $\text{Sum}P_f$ جمع می شود.

$$\text{Sum}P_f = \text{Sum}P_f + P_{f, \text{new}} \quad (6)$$

همان‌گونه که بیان شد P_{fs}^U برابر با مجموع احتمالات مسیرهای خرابی است. بنابراین در پایان عملیات شاخه و کرانه $\text{Sum}P_f$ به‌عنوان کران بالای احتمال خرابی سازه در نظر گرفته می شود.

$$P_{fs}^U = \text{Sum}P_f \quad (7)$$

عملیات کرانه‌ای. این عملیات مشخص می کند که آیا اعضای که قرار است در هر مرحله برای عملیات شاخه‌ای انتخاب شوند، منجر به یک مسیر خرابی محتمل می شوند یا خیر. اعضای که شرط فوق را نداشته باشند توسط عملیات کرانه‌ای کنار گذاشته می شوند.

احتمال وقوع یک مسیر در طول عملیات شاخه‌ای مرتباً کاهش می یابد. به‌عبارت دیگر احتمال آن که اعضای ۱ تا P خراب شود کم‌تر از احتمال خرابی اعضای ۱ تا $P-1$ است. اکنون زمانی که در عملیات شاخه‌ای قرار است اعضا در مسیرهای خرابی جدید انتخاب شوند می توان احتمال وقوع آن‌ها را با $\text{Max}P_f \cdot 10^{-n}$ مقایسه کرد. چنانچه احتمال وقوع مسیر جدید قبل از تشکیل مکانیزم کوچکتر از عدد فوق

زیرماتریس H_1 دارای مرتبه‌ی کامل سطری n است (به عبارت دیگر H_1^{-1} وجود دارد) و مربوط به نیروهای داخلی اعضای سازه‌ی معین اولیه صلب یعنی $F_{n \times 1}$ می‌باشد. زیرماتریس H_2 نیز دارای مرتبه کامل ستونی t بوده و اختصاص به نیروهای مجهول اضافی $q_{t \times 1}$ دارد. به این ترتیب رابطه‌ی (۸) به صورت جدید زیر قابل نمایش است:

$$P = \begin{bmatrix} H_1 & H_2 \end{bmatrix} \begin{Bmatrix} F \\ q \end{Bmatrix} = H_1 \cdot F + H_2 \cdot q \quad (10)$$

چنانچه رابطه‌ی فوق برای بردار نیروی F حل شود، نتیجه می‌شود:

$$F = H_1^{-1} \cdot P + (-H_1^{-1} H_2) q \quad (11)$$

حال اگر به رابطه‌ی فوق بردار q افزوده گردد، در قیاس با رابطه‌ی (۹) می‌توان روابط زیر را برای ماتریس‌های B_0 و B_1 نتیجه گرفت:

$$B_0 = \begin{bmatrix} H_1^{-1} \\ 0 \end{bmatrix} \text{ و } B_1 = \begin{bmatrix} -H_1^{-1} H_2 \\ I \end{bmatrix} \quad (12)$$

با توجه به این که درایه‌های ماتریس‌های F و q با توجه به شماره‌گذاری اعضا در سطرهای مربوط در بردار نیروهای داخلی r واقع شده‌اند، لذا سطرهای ماتریس صفر $O_{t \times n}$ در تعریف B_0 به‌طور نظیر سطرهای ماتریس واحد $I_{t \times t}$ در تعریف B_1 بایستی به ترتیب در سطرهای مربوط به اعضای مجهول اضافه (واقع شده در r) قرار گیرند. این جابه‌جایی سطرها در بعضی نمادهای فرمول‌بندی روش نیروها توسط ماتریس‌های جایگشت نمایش داده شده‌اند. باید توجه داشت که بسته به انتخاب مجهولات اضافه در بردار q ، تعداد متعددی ماتریس B_0 و B_1 می‌توان تشکیل داد. روش‌های متنوعی وجود دارد که بتوان ماتریس‌های B_0 و B_1 خوب که پر صفر، نواری و موزون هستند،

می‌کند. به این ترتیب برای یک گره فعال خریا در فضای سه‌بعدی، سه شرط $\sum F_x = 0$ ، $\sum F_y = 0$ و $\sum F_z = 0$ ارتباط نیروهای اعضای متصل به گره مورد نظر با بارهای خارجی را برقرار نموده‌است و سه سطر پیاپی از ماتریس H را پر می‌کند.

در یک سازه‌ی پایدار صلب به‌زای $t = m - n \geq 0$ ماتریس H دارای مرتبه‌ی کامل سطری است؛ به عبارت دیگر رنک H برابر با n است. t تعداد مجهولات اضافی یا درجات نامعینی استاتیکی سازه می‌باشد.

روش نیروها مشتمل بر دو گام در نظر گرفته می‌شود. در گام نخست ماتریس‌های B_0 و B_1 به نحوی پیدا می‌شود که بردار نیروهای عضوی r در رابطه‌ی (۸) به صورت زیر بیان شود:

$$r_{m \times 1} = B_{0_{m \times n}} \cdot P_{n \times 1} + B_{1_{m \times t}} \cdot q_{t \times 1} \quad (9)$$

در این رابطه B_0 یک ماتریس $m \times n$ بعدی است به طوری که $H \cdot B_0$ معادل ماتریس واحد $n \times n$ می‌شود. هر ستون B_0 مبین نیروهای ایجاد شده در اعضای سازه‌ی صلب معین اولیه در صورت اعمال بار واحد در جهت هر یک از درجات آزادی گرهی است. B_1 ماتریس $m \times t$ از مرتبه‌ی کامل ستونی است به نحوی که $H \cdot B_1$ معادل ماتریس صفر می‌گردد. تعداد ستون‌های ماتریس B_1 برابر درجات نامعینی استاتیکی است و هر ستون آن نشانگر سیستم نیروهای عضوی است که با خود (در غیاب بارهای خارجی) در حال تعادل است و به بردار پوچی یا سیستم خودم تعادل معروف است. در رابطه‌ی (۹) بردار q از مرتبه‌ی t به بردار نیروهای مجهول اضافی و ماتریس B_1 به ماتریس پایه‌های پوچی یا ماتریس تنش خودم تعادل موسوم است.

جهت تعیین روابط کلی برای ماتریس‌های B_0 و B_1 ماتریس تعادل H رابطه‌ی (۸) به دو زیرماتریس H_1 و H_2 تجزیه می‌شود. در یک سازه‌ی صلب،

به دست آورد [13].

قطر اصلی آن می باشد. با استفاده از روابط (۱۵) ستون های ماتریس های L و U به طور هم زمان و یکی پس از دیگری تولید و در صورتی که درایه ی قطر اصلی ماتریس L صفر شود، برای جلوگیری از ویژه شدن ماتریس H_1 ، ستون نظیر از ماتریس H که یک ستون وابسته است و متناظر با شماره ی عضو مجهول اضافی، نادیده گرفته می شود و محاسبات از ستون بعدی دنبال خواهد شد. به این ترتیب، ستون های وابسته از ماتریس H که یکسان با تعداد مجهولات اضافی می باشند، عناصر ماتریس H_2 از مرتبه ی $n \times t$ را تشکیل می دهند.

$$j = 1, 2, \dots, n \quad \text{به ازای}$$

$$u_{mj} = \frac{h_{mj} - \sum_{i=1}^{m-1} l_{mi} u_{ij}}{l_{mm}} ; m = 1, 2, \dots, j-1$$

$$l_{ij} = h_{ij} - \sum_{k=1}^{j-1} l_{ik} u_{kj} ; i = j, j+1, \dots, n$$

$$u_{jj} = 1.0 \quad (15)$$

در روابط بالا h_{ij} ، l_{ij} و u_{ij} به ترتیب درایه های سطر i و ستون j از ماتریس های H ، L و U می باشند. با تشکیل ماتریس های $H_1 = LU$ و H_2 در یک سازه ی پایدار، طبق روابط (۱۲) ماتریس های B_1 و B_0 به دست می آیند.

$$B_1 = \begin{bmatrix} -H_1^{-1} H_2 \\ I \end{bmatrix}_{m \times t} \quad (12 \text{ تکراری})$$

و

$$B_0 = \begin{bmatrix} H_1^{-1} \\ O \end{bmatrix}_{m \times n}$$

H_1^{-1} را می توان به راحتی با استفاده از روش های محاسبات عددی مانند روش تجزیه LU به دست آورد [18]. زیرماتریس O در ماتریس B_0 صفر از مرتبه ی $n \times n$ و زیرماتریس I در ماتریس B_1 ماتریس واحد از مرتبه ی $t \times t$ است. سطرهای این دو زیرماتریس پس از انجام عملیات جابه جایی سطر مناسب، به ترتیب در

در گام دوم روش نیروها با استفاده از اصل کار مجازی و سازگاری تغییر شکل ها، دستگاه معادلات زیر برای کسب بردار q حل می شود:

$$(B_1^t F_m B_1) \cdot q = -(B_1^t F_m B_0) \cdot P \quad (13)$$

در رابطه ی فوق F_m ماتریس قطری $m \times m$ مربوط به نرمی اعضا و $G = B_1^t F_m B_1$ ماتریس نرمی کل سازه می باشد. یک ماتریس B_1 نواری سبب نواری شدن ماتریس G خواهد شد [13]. تغییر مکان های گرهی نیز توسط رابطه ی زیر قابل ارزیابی است:

$$d_{n \times 1} = B_{0_{n \times m}}^t \cdot F_{m_{m \times m}} \cdot r_{m \times 1} \quad (14)$$

در این تحقیق از روش LU برای تعیین ماتریس های B_0 و B_1 استفاده شده است. در این روش ماتریس نرمی $G = B_1^t F_m B_1$ متقارن و معین- مثبت به دست می آید و با استفاده از روش چولسکی می توان بردار q را به سرعت تعیین نمود و نیازی به کنترل های ممانعت از تقسیم عدد بر صفر یا جذر عدد منفی وجود ندارد. روش تجزیه گاوس- جردن (Gauss - Jordan Decomposition Method) و روش بازگشتی (LU Turn Back LU Factorization) نیز در مرجع [۱۶] معرفی شده است.

روش افراز LU

فرمول بندی اولیه ی این روش توسط کانکو و همکاران [17] صورت پذیرفت و پس از آن کاوه و کلات جاری در مرجع [8] با ارائه ی روابط جدید، راندمان و سرعت آن را افزایش دادند. در این روش ماتریس تعادل به صورت $H = [H_1, H_2]$ به نحوی تجزیه می شود که $H_1 = LU$ باشد. H_1 ماتریس مربعی $n \times n$ غیرویژه و ستون های آن منتخبی از ستون های غیروابسته (مستقل) ماتریس H می باشد. L ماتریس غیرویژه ی پایین مثلثی و U ماتریس غیرویژه ی بالا مثلثی با درایه های واحد بر

در سیستم جزیره‌ای که به الگوریتم ژنتیک توزیع شده معروف است، ابتدا جمعیت اولیه به چند زیرجمعیت (جزیره) تقسیم می‌شود و هر یک از جزایر توسط یک پردازشگر به‌طور مستقل به بهینه‌سازی می‌پردازد. پس از گذشت چند نسل برای جلوگیری از ایجاد بهینه‌ی محلی و ایجاد تنوع در جواب، به‌ترین کروموزوم‌های هر جزیره به جزایر دیگر مهاجرت می‌کنند. در هنگام مهاجرت این کروموزوم‌ها، یک کپی از آن‌ها در جزیره‌ی مبدأ نگذاشته می‌شود. کروموزوم‌های مهاجر که شایسته‌ترین کروموزوم‌های جزیره‌ی مبدأ بوده‌اند، جایگزین بدترین کروموزوم‌های جزیره‌ی مقصد می‌شوند. عمل مهاجرت به‌صورت متناوب تا رسیدن به شرط پایان بهینه‌یابی انجام می‌شود.

به تعداد نسل‌های بین دو مهاجرت، وقفه‌ی مهاجرت و به تعداد کروموزوم‌های مهاجر، نرخ مهاجرت می‌گویند.

عیب عمده‌ی سیستم Master-Slave نسبت به پردازش جزیره‌ای، حجم بالای داده‌های انتقالی بین پردازشگرهای فرعی و اصلی است [30]. در این سیستم در هر نسل باید تمامی کروموزوم‌ها به پردازشگرهای فرعی ارسال و پس از تعیین شایستگی پس فرستاده شود. در حالی که در سیستم پردازش جزیره‌ای عمل مهاجرت بین جزایر با تعداد محدودی انجام می‌شود. به‌طور کلی پردازش موازی جزیره‌ای دارای مزایای زیر است:

حجم داده‌های انتقالی با توجه به محدود بودن تعداد مهاجرت‌های بین جزایر، پایین است.

با توجه به کوچک بودن جمعیت هر جزیره، عملیاتی مانند مرتب‌سازی کروموزوم‌ها، انتخاب و غیره سریع‌تر انجام می‌شود.

مهاجرت کروموزوم‌های شایسته‌ی هر جزیره به جزایر دیگر باعث می‌شود تا جواب‌های متنوعی ایجاد شود و از ایجاد بهینه‌ی محلی خودداری گردد.

سطرهای مربوط به مجهولات اضافی قرار می‌گیرد. ماتریس B_1 که به این ترتیب حاصل می‌شود، به‌صورت پلکانی است که درایه‌های صفر در گوشه‌ی سمت چپ و پایین ماتریس قرار می‌گیرد. مرحله‌ی بعدی محاسبات، به‌کارگیری روابط (۹ و ۱۳) برای محاسبه‌ی بردار مجهولات اضافی و نیروهای داخلی اعضا است. تغییر مکان‌های گرهی را می‌توان از رابطه‌ی (۱۴) محاسبه کرد لیکن در تحلیل قابلیت اعتماد کاربردی ندارد.

الگوریتم ژنتیک موازی

الگوریتم ژنتیک ساده توسط مرجع [19] پایه‌ریزی شد و طی سال‌های بعد تحقیقات بسیار زیادی درباره‌ی آن انجام گرفت [20-23]. این روش بهینه‌یابی علی‌رغم تمامی مزایایش، بسیار وقت‌گیر است. خوشبختانه روابط حاکم در الگوریتم ژنتیک به گونه‌ای است که می‌توان از پردازش موازی در آن استفاده نمود.

تاکنون تحقیقات زیادی در زمینه‌ی موازی کردن پردازش در الگوریتم ژنتیک صورت پذیرفته است. پردازش موازی در اکثر این تحقیقات به دو صورت عمده انجام شده است [24-26]: موازی‌سازی مستقیم [27] و موازی‌سازی جزیره‌ای [28,29].

سیستم اول که به Master-Slave موسوم است، شامل یک پردازشگر اصلی و $n-1$ پردازشگر فرعی است. در این سیستم پردازشگر اصلی کروموزوم‌های یک نسل را بین پردازشگرهای فرعی تقسیم می‌کند. این پردازشگرها به‌طور موازی به محاسبه‌ی شایستگی کروموزوم‌های خود پرداخته و نتایج را به پردازشگر اصلی ارسال می‌کنند. اکنون وظیفه‌ی تولید نسل جدید بر عهده‌ی پردازشگر اصلی است. در اغلب مسائل مهندسی حجم بالایی از محاسبات (بین ۸۵ تا ۹۵ درصد) صرف تعیین شایستگی هر کروموزوم می‌شود [27]، لذا استفاده از پردازشگرهای موازی تأثیر قابل توجهی در کاهش زمان محاسبات دارد.

جدول ۱ مشخصات سیستم‌های کامپیوتری مورد استفاده

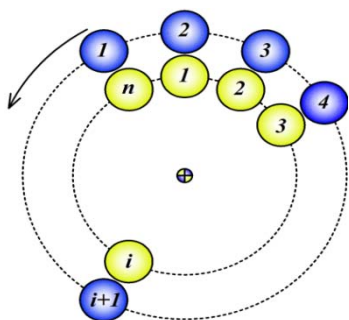
Number of Processor	5
Processor Type	Intell PIV 2.4 Celerone
CPU Cache	128 KB
Momory Per Processor	512 MB
OS	MS-Windows XP
Compiler	MS-Visual Basic 6.0
Communication Type	Realtek 10/100 Mbps Ethenet

جدول ۲ مشخصات جزایر در پردازش موازی

۵	۴	۳	۲	۱	
RW	T	Rnk	RW	T	روش انتخاب
1P	2P	3P	1P	2P	روش ادغام
۰/۰۰۵	۰/۰۰۱	۰/۰۰۴	۰/۰۰۱	۰/۰۲۵	نرخ ادغام
۹۰	۱۰۰	۶۰	۸۵	۷۵	نرخ جهش %

T: مسابقه‌ای RW: چرخ گردان Rnk: رتبه‌بندی
 1P: تک نقطه‌ای 2P: دو نقطه‌ای 3P: سه نقطه‌ای

در اکثر تحقیقات انجام شده از دو روش برای انتخاب جزیره‌ی مقصد استفاده شده است [30]. در روش اول جزیره‌ی مقصد به صورت رندوم انتخاب می‌شود. در روش دوم مهاجرت کروموزوم‌ها از هر جزیره به جزیره‌ی همسایه صورت می‌پذیرد. ایراد این دو روش این است که ممکن است برخی از جزایر اصلاً با یکدیگر ارتباط برقرار نکنند. در این تحقیق برای رفع این نقیصه، یک الگوریتم مطابق شکل (۱) برای مهاجرت کروموزوم‌ها پیشنهاد می‌شود.



شکل ۱ چگونگی انتخاب جزیره‌ی مقصد

در این سیستم امکان استفاده از پارامترها و روش‌های گوناگون الگوریتم ژنتیک در هر یک از جزایر وجود دارد. این پارامترها تأثیر قابل توجهی در بهینه‌یابی دارند. در یک الگوریتم ژنتیک ساده یا یک سیستم Master-Slave لازم است از پیش چندین بار بهینه‌یابی انجام شود تا مقداری صحیح برای این پارامترها و روشی مناسب تعیین شود. در حالی که در روش جزیره‌ای با توجه به تعدد جزایر، امکان به‌کارگیری پارامترها و روش‌های گوناگون وجود دارد، لذا تعداد مراحل آزمون و خطا و احتمال گیر افتادن در بهینه‌ی محلی به طور قابل توجهی کاهش می‌یابد [28,29,31].

به‌طور خلاصه، هر دو سیستم پردازش موازی مستقیم و جزیره‌ای باعث افزایش سرعت محاسبات می‌شوند، لیکن روش جزیره‌ای علاوه بر آن که سریع‌تر است، سرعت همگرایی بیشتری داشته و نیز احتمال قرار گرفتن در بهینه‌ی محلی را کاهش می‌دهد.

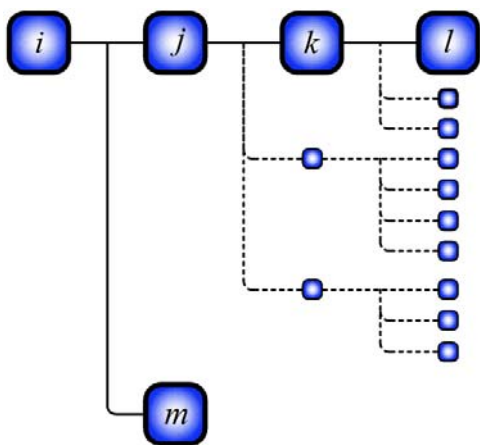
در مرجع [28, 29] از روش موازی جزیره‌ای برای بهینه‌یابی خرپاها استفاده شده است. در تحقیق یادشده مقادیر مختلفی برای نرخ ادغام و نرخ جهش در جزایر استفاده شده است. در مرجع [۳۱] برای هر یک از جزایر، پارامترها و قوانین به‌دست آمده از تحقیقات معروف گذشته مورد استفاده قرار گرفته است.

در این تحقیق از روش موازی جزیره‌ای برای بهینه‌یابی استفاده می‌شود. بدین منظور یک شبکه‌ی کامپیوتری شامل ۵ کامپیوتر با مشخصات جدول (۱) به‌کار گرفته می‌شود. هر کامپیوتر به یک جزیره اختصاص داده می‌شود. هر یک از جزایر با پارامترها و روابط مختص خود به بهینه‌یابی می‌پردازد. اطلاعات مربوط به هر جزیره و پارامترهای مربوط در جدول (۲) ارائه شده است.

- راهکار پیشنهادی در بهینه یابی.

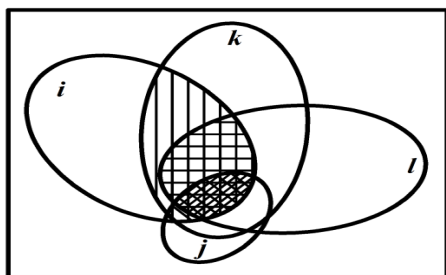
راهکار پیشنهادی در قابلیت اعتماد

همان گونه که بیان شد، در این تحقیق احتمال یک مسیر خرابی مانند $i \rightarrow j \rightarrow k \rightarrow l$ طبق رابطه ی تقریبی ۳ برابر با کوچک ترین احتمال مشترک خرابی اعضای j ، k و l با خرابی عضو i است. این مسیر خرابی در شکل (۲) با خط پر نمایش داده شده است.



شکل ۲ طرح شماتیک از مسیرهای خرابی منشعب از $i \rightarrow j$

بنابراین اگر کوچک ترین احتمال مشترک این اعضا مطابق نمودار ون شکل (۳) مربوط به اعضای i و j باشد، آن گاه احتمال مسیر خرابی $i \rightarrow j \rightarrow k \rightarrow l$ یعنی $P(F_i \cap F_j \cap F_k \cap F_l)$ با احتمال مشترک خرابی اعضای i و j یعنی $P(F_i \cap F_j)$ تقریب زده می شود. این تقریب محافظه کارانه است زیرا طبق شکل (۳) رویداد $F_i \cap F_j \cap F_k \cap F_l$ زیر مجموعه ی رویداد $F_i \cap F_j$ است.



شکل ۳ نمایش کوچک ترین اشتراک در نمودار ون

در شکل (۱) حلقه های درونی و بیرونی به ترتیب نشان دهنده ی جزایر مبدأ و مقصد در اولین مهاجرت هستند. مطابق این شکل در مهاجرت اول، کروموزوم های شایسته ی جزیره i ام به جزیره $i+1$ ام مهاجرت می کنند. در هنگام مهاجرت دوم حلقه ی بیرونی در خلاف جهت حرکت عقربه های ساعت می چرخد و جزیره $i+2$ ام به عنوان جزیره ی مقصد کروموزوم های شایسته جزیره i ام انتخاب می شود. در n امین مهاجرت جزیره i ام روبه روی خود قرار می گیرد. انتقال از یک جزیره به خود آن جزیره مفهومی ندارد لذا حلقه ی بیرونی یک بار دیگر می چرخد و جزیره $i+1$ ام انتخاب می شود. به این ترتیب، حلقه ی بیرونی یک دور کامل می چرخد و همه چیز از ابتدا آغاز می شود. استفاده از این الگوریتم باعث می شود تا انتقال بین جزایر به صورت مطمئن تر و سریع تری صورت پذیرد.

وقفه ی مهاجرت و نرخ مهاجرت تأثیر مهمی در یافتن بهینه ی کلی دارد. چنانچه عمل مهاجرت زیاد صورت پذیرد و تعداد کروموزوم های مهاجر زیاد باشد، جزایر فرصت تولید کروموزوم های تکامل یافته تر را از دست می دهند. در این حالت کروموزوم ها پیوسته از بین می روند و کروموزوم های جزایر دیگر جای آن ها را می گیرند. چنانچه وقفه ی مهاجرت و نرخ آن کوچک باشد جزایر نسبت به یکدیگر ایزوله می شوند و مزایای استفاده از یک جمعیت بزرگ از بین می رود [25].

راهکارهای پیشنهادی

در این مقاله چهار راهکار برای کاهش حجم و زمان محاسبات در فرآیند بهینه یابی سازه های خرابی با استفاده از الگوریتم ژنتیک تحت قید قابلیت اعتماد ارائه شده است:

- راهکار پیشنهادی در قابلیت اعتماد.
- بهبود فرمول بندی روش جبری نیروها.
- استفاده از تکنیک های هوش مصنوعی.

ارتباط هستند میسر می شود. سپس لازم است خرابی جدید تحلیل قابلیت اعتماد شود تا احتمال خرابی اعضا به دست آید و از بین آن‌ها عضوی را که بیشترین احتمال خرابی دارد انتخاب شود. این عملیات حذف اعضا و تحلیل سازه‌های جدید باید تا وقوع خرابی یا همان صفر شدن دترمینان ماتریس سختی کل خرپا ادامه یابد.

$$|K|^f = 0 \quad (16)$$

بالانویس r نشان‌دهنده‌ی کاهش به وجود آمده در ماتریس سختی کل است. هر بار تحلیل قابلیت اعتماد خرپا مستلزم حل مکرر دستگاه معادلاتی با تعداد درجات آزادی فعال گرهی است.

در روش متعارف جبری نیروها نیز باید مشابه آنچه در روش سختی بیان شد، ماتریس H را تصحیح کرد. پس از آن تمامی عملیات از جمله افزایش ماتریس H با روش تجزیه LU ، تعیین ماتریس‌های B_0 و B_1 و حل رابطه‌ی (۱۳) را دوباره باید انجام داد. عملیات فوق زمان زیادی صرف می‌کند به طوری که استفاده از روش نرمی منجر به صرف زمان بیش‌تری نسبت به روش سختی می‌شود.

اکنون می‌توان با اعمال تغییراتی در روش تحلیل جبری نیروها زمان لازم برای تحلیل خرپا را چنان کاهش داد که سریع‌تر از روش سختی به جواب برسد. نکته‌ی اصلی این راهکار در این‌جا است که ماتریس‌های B_0 و B_1 ابداً ارتباطی به سختی یا نرمی اعضا ندارند و در صورت حذف یک عضو کافی است درایه‌ی نظیر آن در ماتریس نرمی F_m اصلاح شود. با اصلاح ماتریس یاد شده کافی است یک‌بار دیگر رابطه‌ی (۱۳) حل شود تا مقادیر نیروهای اعضا تعیین شود. به بیان دیگر ماتریس‌های یادشده فقط یک‌بار برای سازه‌ی دست نخورده‌ی کروموزوم اول نسل اول تشکیل می‌شوند و تا انتها بدون تغییر باقی می‌مانند. روش بهبود یافته‌ی نیروها دو برتری نسبت به روش سختی دارد. اول این‌که در این روش حل

این مسأله را می‌توان به راحتی به کلیه‌ی شاخه‌های دیگر منشعب از $i \rightarrow z$ تعمیم داد، لذا همه‌ی این مسیرها زیرمجموعه‌ی رویداد $F_i \cap F_j$ هستند. این شاخه‌ها با نقطه‌چین در شکل (۲) نمایش داده شده است. اکنون اگر طبق رابطه‌ی (۳) رویداد مسیر خرابی $i \rightarrow z \rightarrow k \rightarrow l$ با رویداد $F_i \cap F_j$ تقریب زده شود، آن‌گاه احتمال این رویداد یعنی $P(F_i \cap F_j)$ طبق کران بالای کرنل با مجموع احتمال مسیرهای قبلی جمع زده می‌شود.

در این حالت باید از تولید مسیرهای خرابی دیگر که از $i \rightarrow z$ منشعب می‌شود، جلوگیری کرد. زیرا همان‌گونه که گفته شد، همه‌ی آن‌ها زیرمجموعه‌ی رویداد $F_i \cap F_j$ هستند و اجتماع چند رویداد که همگی زیرمجموعه‌ی یک رویداد هستند نیز زیر مجموعه آن رویداد است. تولید این گونه مسیرها نه تنها چیزی به فضای خرابی کل اضافه نمی‌کند بلکه باعث می‌شود احتمال آن‌ها بر اساس کران بالای کرنل به صورت اشتباه با هم جمع شود و مقدار بسیار محافظه‌کارانه‌ای برای کران بالای احتمال خرابی سیستم سازه‌ای تعیین گردد. علاوه بر آن تولید این گونه مسیرها حجم محاسبات را بی‌دلیل افزایش می‌دهد.

با حذف مسیرهای منشعب باقیمانده نه تنها کران فوقانی کوچک‌تری برای احتمال خرابی سیستم سازه‌ای تعیین می‌شود، بلکه سرعت محاسبات نیز افزایش می‌یابد.

با جایگزینی رویداد خرابی یک عضو خرپا با رویداد ایجاد یک مفصل پلاستیک، راهکار پیشنهادی قابل تعمیم به سازه‌های قابی است.

بهبود فرمول‌بندی روش جبری نیروها

در روند تشکیل یک مسیر خرابی زمانی که عضوی از خرپا حذف می‌شود علاوه بر توزیع مجدد نیروها باید ماتریس سختی کل خرپا اصلاح شود. این امر با صفر در نظر گرفتن سختی عضو مورد نظر و تصحیح درایه‌هایی از ماتریس سختی کل که با آن عضو در

خرابی هر کروموزوم و شناسایی این مسیرها است. عامل هوشمند در صورت تکرار این مسیرها، نه تنها در ادامه ی تحلیل آن کروموزوم، بلکه در تحلیل همه ی کروموزوم های نسل های بعدی آن ها را شناسایی می کند. حسن شناسایی این مسیرهای خرابی، همان طور که از نام آن ها پیدا است، این است که شرط خرابی قطعاً در مورد آن ها برقرار است و نیازی به کنترل نیست. بنابراین زمان لازم برای کنترل شرط خرابی در مورد تمامی این مسیرهای تکراری ذخیره می شود.

در روند بهینه یابی با الگوریتم ژنتیک کروموزوم هایی که شایستگی بیش تری دارند، به کرات تولید می شوند. عامل هوشمند فاز دوم، شایستگی این گونه کروموزوم ها را ذخیره می سازد و پس از تکرار آن ها مقدار شایستگی ذخیره شده را اعلام می کند. به این ترتیب از تحلیل اضافی جلوگیری می گردد و حجم عمده ای از محاسبات کنار گذاشته می شود.

در ادامه نحوه ی کارکرد این دو عامل به طور واضح تر بیان می شود.

عامل هوشمند فاز اول

در یک خرابی n میله ای چنانچه مسیر $i \rightarrow j \rightarrow k$ یک مسیر خرابی باشد آن گاه مسیر $i \rightarrow k \rightarrow j$ یا هر ترکیب دیگر این سه عضو نیز باعث خرابی سازه می شود. به عبارت دیگر عدم حضور سه عضو مذکور به طور هم زمان (مستقل از ترتیب وقوع آن ها) منجر به ناپایداری خرابی خواهد شد. حال اگر در این خرابی دو عضو i و k حذف شده باشد، قطعاً حذف عضو سوم (j) باعث خرابی است و نیازی به تحلیل خرابی و کنترل شرط خرابی نیست. همان گونه که بیان شد شرط خرابی خرابی در تحلیل به روش سختی، صفر شدن دترمینان ماتریس سختی کل و در تحلیل با روش نرمی پیشنهادی ایجاد نیرو در میله های حذف شده است.

در اینجا ذکر دو نکته ضروری است. اول این که برای تعیین احتمال خرابی مسیر $i \rightarrow k \rightarrow j$ ، باید خرابی تحلیل شود که ابتدا عضو i ام و سپس عضو k

دستگاه معادلات خطی از تعداد درجات آزادی فعال گرهی به تعداد درجات نامعینی استاتیکی (که معمولاً کم تر است) تقلیل می یابد. با توجه به این که معادلات فوق در تحلیل قابلیت اعتماد سازه ها با دفعات بسیار زیاد حل می شود استفاده از روش پیشنهادی می تواند باعث صرفه جویی چشمگیر در حجم محاسبات شود. مزیت دوم این است که نیروهای اعضا به طور مستقیم و قبل از محاسبه ی بردار تغییر مکان های گرهی تعیین می شود و باعث کاهش بیش تر زمان محاسبات خواهد شد.

دو نکته در اینجا وجود دارد. اول این که درایه های ماتریس نرمی را نرمی اعضای خرابی تشکیل می دهد. نرمی عضو i ام خرابی از رابطه ی زیر به دست می آید.

$$F_{m_i} = \frac{L_i}{E_i A_i} \quad (17)$$

بنا بر رابطه ی اخیر، صفر کردن سختی هر عضو منجر به بی نهایت شدن نرمی آن می شود. در عمل در صورت حذف هر عضو، از یک عدد بسیار بزرگ برای نرمی آن استفاده می شود.

نکته ی دوم این که در تحلیل خرابی های بزرگ زمان زیادی صرف انجام ضرب های ماتریسی موجود در رابطه ی (۱۳) می شود. در این حالت مشابه تعدیل بیان شده در روش سختی، می توان کنترل کرد که تغییر نرمی عضو i ام بر چه درایه هایی از ماتریس های حاصل ضرب رابطه ی (۱۳) تأثیر دارد. این امر می تواند صرفه جویی قابل توجهی در زمان محاسبات ایجاد کند. شایان ذکر است که در روش پیشنهادی، ایجاد نیرو در هر یک از میله هایی که حذف شده است به منزله ی ناپایداری خرابی خواهد بود.

استفاده از تکنیک های هوش مصنوعی

در این مقاله از عامل های هوشمند در دو فاز متفاوت استفاده می شود. فاز اول شامل ذخیره سازی مسیرهای

قبلاً اعضای بانک به صورت صعودی یا نزولی مرتب شده باشد. با توجه به ذخیره سازی رشته ها به صورت بیان شده امکان مقایسه و مرتب سازی آن ها وجود دارد. مقایسه ی رشته ها مانند مقایسه ی اعداد در مبنای ۲ است. چنانچه بانک به صورت نزولی مرتب شده باشد برای پیدا کردن یک رشته باید آن را با عضو وسط بانک مقایسه کرد. اکنون اگر رشته ی مورد نظر از رشته ی وسطی بزرگ تر باشد جواب در نیمه ی بالایی بانک است و برعکس. با این روش در گام اول فضای جستجو به نصف آن و در گام دوم به یک چهارم تقلیل می یابد. این کار تا زمانی که رشته ی مورد نظر پیدا شود ادامه می یابد. حداکثر تعداد عملیات لازم n_{max} در این روش برای بانک با تعداد اعضای N از رابطه ی (۱۹) به دست می آید.

$$n_{max} = \text{int}[\log_2 N] + 1 \quad (19)$$

در رابطه ی فوق int تابع جزء صحیح است. n_{max} در مقایسه با N به مراتب کوچک تر است، لذا استفاده از این روش در یک فضای جستجو بزرگ اجتناب ناپذیر است. مرتب سازی رشته ها در بانک از ابتدا باید به گونه ای باشد که هر رشته در جای خود ذخیره شود تا نیازی به مرتب سازی بانک پس از ورود هر رشته جدید وجود نداشته باشد. در این تحقیق برای پیدا کردن موقعیت صحیح یک رشته جدید، از روش مرتب سازی فوری استفاده شده است [32].

همواره در حین انجام عملیات، زمان قابل توجهی صرف کنترل شرط خرابی می شود. با استفاده از تکنیک های هوش مصنوعی می توان مسیرهای تکراری را شناسایی و از انجام عملیات تکراری خودداری نمود. این کار باعث می شود که مدت زمان مورد نیاز برای یافتن احتمال خرابی سازه کاهش چشم گیری یابد.

عامل هوشمند فاز دوم

در بهینه یابی با الگوریتم ژنتیک جمعیت اولیه به صورت کاملاً تصادفی تولید می شود. برای تولید نسل های

ام آن حذف شده است و نیازی به حذف عضو j ام نیست. ثانیاً در یک سازه با S درجه نامعینی، هر مسیر شامل $S+1$ عضو قطعاً یک مسیر خرابی است و نیازی به کنترل شرط خرابی یا استفاده از تکنیک های هوش مصنوعی نیست.

در این تحقیق برای ذخیره سازی مسیر خرابی $i \rightarrow j \rightarrow k$ در خرابی n میله ای از رشته ای به طول n استفاده می شود که تمامی کاراکترهای متناظر با میله های یاد شده 0 و مابقی 1 است.

$$\overbrace{111101011110111}^n \quad (18)$$

$i \quad j \quad k$

تعداد مسیرهای خرابی که با حذف اعضای k, j, i به وجود می آید برابر با $3! = 6$ است. 5 مسیر دیگر که در ادامه ی عملیات شاخه ای به دست می آیند نیز با همین شکل تشکیل می شود و مورد شناسایی عامل هوشمند قرار می گیرد. بنابراین دیگر نیازی به تحلیل و ذخیره سازی تکراری این مسیرها نیست و در حجم و زمان محاسبات صرفه جویی می شود. به طور کلی هر رشته ی با طول n و دارای n_0 کاراکتر صفر، نشانگر یک خرابی n عضوی ناپایدار است که n_0 عضو خود را از دست داده است. $n_0!$ توالی مختلف باعث ایجاد رشته ی فوق می شود اما فقط توالی اول، تحلیل و ذخیره می شود و $n_0! - 1$ توالی دیگر پس از جستجو در بانک خرابی های ناپایدار شناسایی می شود و از تحلیل و ذخیره سازی تکراری آن ها خود داری می گردد.

نحوه ی جستجو در بانک تأثیر عمده ای در زمان محاسبات دارد. در یک جستجوی ترتیبی باید اعضای بانک از اول به ترتیب با عضو جدید مقایسه شود تا در صورت یکسان بودن رشته ها جستجو پایان یابد. حداکثر تعداد عملیات لازم در این روش جستجو، برابر با تعداد اعضای بانک است. تعداد عملیات مقایسه با جلو رفتن عملیات شاخه ای و زیاد شدن تعداد اعضای بانک افزایش می یابد و اتلاف قابل توجهی در زمان به وجود می آید. به جای این روش می توان از روش سریع جستجوی دودویی استفاده کرد [32] لیکن باید

همان گونه که بیان شد در اغلب موارد مهندسی تحلیل و تعیین شایستگی کروموزومها حدود ۸۵ تا ۹۵ درصد زمان برنامه را به خود اختصاص می دهد. این عدد در مورد مسأله‌ی مورد بحث در این تحقیق حتی از ۹۹ درصد بیش تر است؛ یعنی زمان لازم برای عملگرهای الگوریتم ژنتیک از یک درصد کم تر است. حال اگر از این یک درصد زمان صرف نظر شود، نتیجه‌ی جالبی حاصل می گردد. در یک الگوریتم ژنتیک با تعداد جمعیت P و G نسل هر یک بار که عامل هوشمند کروموزومی تکراری پیدا می کند از محاسبات مجدد در مورد آن جلوگیری می کند، لذا به مقدار $1/(PG)$ در زمان محاسبات صرفه جویی می شود.

در ادامه، مطابق مطالبی که در راهکار چهارم ارائه خواهد شد، مشخص می شود که مقدار صرفه جویی به وجود آمده بیش تر از این مقدار است. بر اساس نتایج بخش یادشده، زمان تحلیل کروموزومهای با شایستگی بالا نسبت به سایرین به مراتب بالاتر است. به عبارت دیگر تحلیل کروموزومهایی که شایستگی کم تری دارند خیلی سریع تر انجام می شود.

مجدداً یادآوری می شود که عامل هوشمند تنها شایسته ترین کروموزومها را ذخیره و شناسایی می کند؛ یعنی همان کروموزومهایی که زمان تحلیل بالاتری دارند. بنابراین، صرفه جویی به وجود آمده در اثر شناسایی یک کروموزوم و عدم انجام محاسبات تکراری به مراتب بیش تر از مقدار $1/(PG)$ است.

مطالب عنوان شده با ذکر مثال عددی شرح داده می شود. در یک مسأله‌ی بهینه یابی با جمعیت ۱۰۰ کروموزوم و ۱۰۰۰ نسل، چنانچه ۵۰۰۰ کروموزوم توسط عامل هوشمند شناخته و عملیات آنها کنار گذاشته شود، تصور می شود که زمان محاسبات ۵۰ درصد کاهش یافته است، لیکن به دلیل آن که تحلیل این ۵۰۰۰ کروموزوم تکراری و شایسته بیش تر از سایرین طول می کشد زمان صرفه جویی شده بیش تر خواهد بود.

بعدی رقابت بین کروموزومها صورت می پذیرد و کروموزومهای شایسته تر شانس بیش تری برای ادغام پیدا می کنند. به این ترتیب، در ادامه و پس از تولید نسل های بعدی کروموزومهای به تری ایجاد می شود. با دقت در این کروموزومها مشاهده می شود که شباهت بسیاری بین آنها وجود دارد و حتی بسیاری از آنها تکراری هستند. این کروموزومها یقیناً فرزندان همانهایی هستند که شایستگی بالاتری داشته اند. نکته‌ی جالب این است که این کروموزومهای تکراری در نسل های بعدی نیز دوباره تولید می شوند.

این مسأله در نسل های پایانی بارزتر است، به طوری که تعداد کپی های یک کروموزوم حتی از نصف تعداد جمعیت آن نسل بیش تر می شود. انجام عملیات تکراری برای یک کروموزوم خاص در یک نسل و نیز در نسل های بعدی هیچ فایده ای ندارد و فقط زمان برنامه را به هدر می دهد.

در این تحقیق از عامل هوشمند برای شناسایی این کروموزومها استفاده شده است. عامل هوشمند فاز دوم در هر نسل کروموزومهایی را که شایستگی آنها از متوسط شایستگی نسل قبل بیش تر است، ذخیره می کند. در صورت تکرار این کروموزومها، عامل هوشمند آنها را به سادگی تشخیص می دهد و به جای تحلیل های اضافی و وقت گیر، مقدار شایستگی نظیر آنها را مستقیماً اعلام می کند.

منطق استفاده شده در این عامل هوشمند در عین سادگی، کاربرد بسیاری دارد. تنها نکته این است که برای ذخیره سازی رشته ها باید از الگوریتم های مناسب مانند آنچه در فاز اول معرفی شد، استفاده شود تا کارایی این عامل بالاتر برود.

عامل هوشمند فاز دوم صرفاً برای مسائل بهینه یابی تحت قید قابلیت اعتماد کاربرد ندارد. از این عامل می توان برای تمامی مسائل بهینه یابی که زمان تحلیل کروموزومهای آنها، نسبت به زمان پردازش عملگرهای الگوریتم ژنتیک به طور قابل توجه بیش تر است، استفاده کرد.

راهکار پیشنهادی در بهینه‌یابی

در برخی از مسائل بهینه‌یابی در زمینه‌ی مهندسی در حین محاسبه شایستگی هر کروموزوم می‌شود و قبل از اتمام تحلیل می‌توان در مورد شایسته بودن آن کروموزوم قضاوت کرد. بسیاری از کروموزوم‌ها از اوایل تحلیل نشانه‌هایی از نقض قید از خود نشان می‌دهند. اگر مقادیر این نقض قیدها زیاد باشد، لزومی به اتمام تحلیل و محاسبه‌ی تابع پنالتی و غیره نیست. به عبارت دیگر در همین مرحله مشخص است که این کروموزوم شایستگی انتخاب برای ادغام را ندارد.

از سوی دیگر برخی کروموزوم‌ها معرف طرح‌های دست بالا هستند به نحوی که تابع هدف را بهینه نمی‌کنند. این گونه کروموزوم‌ها معمولاً شایستگی پایینی دارند و شناسایی آن‌ها پیش از اتمام تحلیل در برخی مسائل مهندسی امکان‌پذیر است. اتمام تحلیل این گونه کروموزوم‌ها عملاً فایده‌ای ندارد و فقط زمان محاسبات را بالا می‌برد.

هدف اصلی راهکار چهارم اعمال چنین قضاوت‌هایی است که نتیجه‌ی آن جلوگیری از محاسبات اضافی و صرفه‌جویی در زمان خواهد بود. خوشبختانه روابط تعیین احتمال خرابی یک سیستم سازه‌ای به نحوی است که می‌توان در میانه (یا حتی در اوایل) تحلیل در مورد وضعیت سازه اظهار نظر نمود.

در بخش ۲-۱ روش شاخه و کرانه مورد بحث قرار گرفت. مطابق مطالب بیان‌شده در آن بخش شرط لازم برای تولید مسیرها (عملیات شاخه‌ای) این است که احتمال وقوع مسیر مورد نظر از $MaxP_f \cdot 10^{-11}$ کوچک‌تر نباشد. حداکثر احتمال مسیرهای خرابی گذشته است.

در هر مرحله از عملیات شاخه و کرانه با یافتن مسیری محتمل‌تر، مقدار احتمال آن در $MaxP_f$ قرار داده می‌شود. به این ترتیب، مقدار $MaxP_f \cdot 10^{-11}$ نیز افزایش می‌یابد. در این جا باید دقت شود که برخی از مسیرهایی که در ابتدای عملیات شاخه و کرانه مجاز شناخته شده و تولید شده‌اند، از مقدار جدید

$MaxP_f \cdot 10^{-11}$ کوچک‌تر اند و طبق عملیات کرانه‌ای نبایستی تولید می‌شدند.

از این مطالب چنین استنباط می‌شود که اگر مقدار $MaxP_f$ که در پایان عملیات به دست می‌آید (P_{fs}^L)، از ابتدا معلوم بود، تعداد مسیرهای حذف‌شده بیشتر می‌شد. یعنی بسیاری از مسیرها بدون این‌که تأثیر محسوسی در مقدار احتمال خرابی داشته باشند تولید شده‌اند و در نتیجه زمان زیادی به هدر رفته است.

در بهینه‌یابی سازه‌ها با استفاده از الگوریتم ژنتیک جمعیت اولیه به صورت کاملاً تصادفی تولید می‌شود. برخی از این کروموزوم‌ها به شدت قید قابلیت اعتماد را نقض می‌کنند، در حالی که برخی دیگر احتمال خرابی بسیار کوچکی دارند.

راهکار چهارم پیشنهادی با یک مثال شرح داده می‌شود. یک خرپای n میله‌ای نامعین مفروض است. هدف یافتن سطح مقطع میله‌های خرپا است به طوری که کم‌ترین وزن برای خرپا حاصل شود و مقدار احتمال خرابی کل آن از 10^{-5} (احتمال خرابی مجاز) کوچک‌تر باشد. مقدار η برابر با ۳ در نظر گرفته می‌شود.

طبق مطالب بیان شده در هر یک از کروموزوم‌ها در طول روند بهینه‌یابی، تمام مسیرهایی که احتمال آن‌ها از 10^{-8} کوچک‌تر است باید کنار گذاشته شود. اکنون چنان‌چه در یکی از کروموزوم‌ها (خرپاها) احتمال خرابی محتمل‌ترین عضو کوچک‌تر از 10^{-8} باشد (مثلاً 10^{-13})، احتمال وقوع تمامی مسیرهای خرابی قطعاً از عدد مذکور کوچک‌تر است. طبق عملیات کرانه‌ای کلیه‌ی این مسیرها در خرپای مورد نظر پیش از تولید باید کنار گذاشته شوند. عدم تولید این مسیرها زمان محاسبات را به طور قابل توجهی کاهش می‌دهد.

به طور خلاصه معیار حذف مسیرها در راهکار چهارم برآورده کردن رابطه‌ی (۲۰) است.

$$P_{fi} \leq \max(P_{f,all}, MaxP_f) \cdot 10^{-11} \quad (20)$$

به شدت جریمه شود به طوری که شانس انتخاب و ادغام پیدا نکند. انتخاب عددی مانند ۲ یا ۳ برای μ ، انتخاب مناسبی است. زیرا کروموزومی که با این مقدار μ رابطه (۲۱) را ارضا کند، یقیناً کروموزوم شایسته‌ای نیست. معیار رابطه‌ی فوق‌الذکر مختص کروموزوم‌هایی است که سطح مقطع میله‌های آن‌ها بسیار ضعیف است. به‌طور خلاصه با استفاده از راهکار چهارم، هر چه احتمال خرابی یک کروموزوم از مقدار احتمال خرابی مجاز (قید مسأله) دورتر باشد به تحلیل کم‌تری نیاز دارد. بنابراین راهکار اول در نسل‌های اول الگوریتم ژنتیک اثر بیش‌تری دارد.

روند حل مسأله و ارتباط بین راهکارهای پیشنهادی

در این قسمت روند کلی حل مسأله بهینه‌یابی و ارتباط بین راهکارهای پیشنهادی به‌طور خلاصه به‌شرح زیر ارائه می‌شود.

در بهینه‌یابی به‌وسیله‌ی الگوریتم ژنتیک تولید یک نسل جدید منوط به تعیین شایستگی کروموزوم‌ها (در این تحقیق خرابیها) و سپس انتخاب شایسته‌ترین‌ها است. در مسأله‌ی حاضر شایستگی خرابیها بستگی به مقدار احتمال خرابی سیستم سازه‌ای دارد. همان‌گونه که بیان شد تعیین احتمال مذکور به‌طور دقیق تقریباً مستلزم صرف زمان بسیار زیاد و تقریباً غیر عملی است. بنابراین در تحقیقات گذشته از فرضیات بسیار ساده‌کننده و محافظه‌کارانه برای تعیین احتمال خرابی استفاده شده است. در این تحقیق با استفاده از راهکار اول تعداد کثیری از مسیرهای همبسته حذف می‌شوند و احتمال خرابی سیستم به‌طور سریع‌تر از روی احتمال وقوع مسیرهای خرابی حاکم تعیین می‌گردد. برای تشکیل مسیرهای خرابی باید خرابیها را به‌کرات تحلیل سازه نمود.

راهکار دوم این تحقیق امر تحلیل سازه‌ی خرابی را تسریع می‌کند. استفاده از این راهکار تأثیری بر مقدار

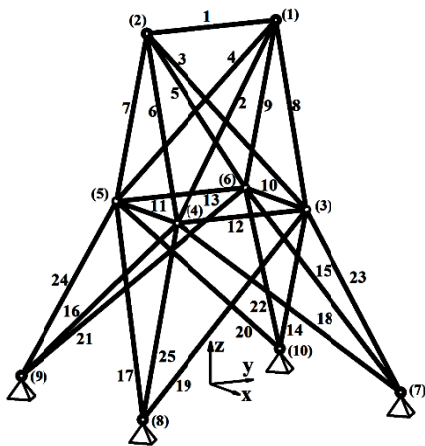
در رابطه‌ی فوق $P_{f,all}$ احتمال خرابی مجاز (قید مسأله‌ی طراحی) است. $\text{Max} P_f$ و μ در عملیات شاخه و کرانه شرح داده شد. این معیار برای کروموزوم‌هایی که سطح مقطع میله‌های آن‌ها دست‌بالا است کاربرد دارد. بدیهی است که میزان جریمه‌ی این گونه کروموزوم‌ها صفر است لیکن شایستگی مناسبی ندارند. هنوز امکان صرفه‌جویی بیش‌تر در حجم و زمان محاسبات وجود دارد. در مثال یادشده تمامی کروموزوم‌هایی (خرپاهایی) که احتمال خرابی آن بزرگ‌تر از 10^{-5} است نقض قید کرده و باید جریمه شوند. لیکن بین دو کروموزوم که احتمال خرابی آن‌ها $10^{-5} \times 1/0.1$ و $0.99/0$ است تفاوت زیادی وجود دارد. هم‌چنین میزان نقض قید و جریمه‌ی این دو کروموزوم کاملاً متفاوت است. در هنگام تحلیل کروموزوم اول تا لحظه‌ی پایان نمی‌توان پیش‌بینی نمود که آیا نقض قید می‌کند یا نه. اما در مورد کروموزوم دوم وضعیت متفاوت است. اگر مجموع احتمال مسیرهای خرابی (کران فوقانی کرنل) در اوایل تحلیل به عددی مانند 10^{-2} برسد، نیازی به ادامه‌ی تحلیل نیست و در همین مرحله مشخص است که نقض قید صورت پذیرفته و چنین کروموزومی باید جریمه شود.

این امر سبب می‌شود که در بسیاری از موارد، عملیات زودتر از موعد مقرر پایان یابد و بخش عظیمی از مسیرهای خرابی و محاسبات نظیر آن‌ها کنار گذاشته شود. تنها نکته‌ی باقیمانده‌ی تعریف معیاری دقیق برای اتمام عملیات است. از رابطه‌ی (۲۱) می‌توان برای کنترل شرط پایان استفاده نمود.

$$\sum_{i=1}^p P_{f_i} \geq P_{f,all} \cdot 10^{\mu} \quad (21)$$

عبارت سمت چپ نامعادله نشان دهنده‌ی مجموع احتمالات مسیرهای خرابی حاکم از ابتدای تحلیل تا مسیر جاری P است. $P_{f,all}$ احتمال خرابی مجاز (قید مسأله‌ی طراحی) و μ یک ثابت عددی است که انتخاب آن به‌عهده‌ی طراح است. کروموزومی که در حین تحلیل معیار رابطه‌ی (۲۱) را ارضا می‌کند باید

است. ضریب پراکندگی بارها ۰/۱ است. میانگین و ضریب پراکندگی تنش تسلیم اعضا به ترتیب برابر با ۲۷۶۰ کیلوگرم بر سانتی متر مربع و ۰/۰۳ است. تنش تسلیم اعضا و بارهای وارد متغیرهای تصادفی نرمال غیرهمبسته و رفتار مصالح در کشش و فشار یکسان فرض می شود.



شکل ۴ خرپای ۲۵ میله‌ای مثال ۳

جدول ۳ سطح مقطع اعضای خرپای مثال ۳

شماره‌ی عضو	سطح مقطع (سانتی متر مربع)
۱	۲/۸۶
۲،۵	۲/۸۳
۳،۴	۶/۰۲
۶،۹	۲/۳۵
۷،۸	۵/۷۶
۱۰،۱۱	۱/۲۱
۱۲،۱۳	۱/۱۰
۱۴،۱۷	۳/۴۳
۱۵،۱۶	۱/۴۵
۱۸،۲۱	۰/۸۴
۱۹،۲۰	۱/۲۸
۲۲،۲۵	۲/۴۲
۲۳،۲۴	۴/۸۴

مقدار همبستگی شاخص فشردگی با مشخصه‌های مرتبط با ساختمان اولیه‌ی نمونه‌ها به مراتب بیش تر از مقدار همبستگی آن با مشخصات مرتبط با جنس ذرات نظیر خواص خمیری خاک است. به عبارت دیگر

احتمال خرابی ندارد و تنها زمان محاسبات را به‌طور قابل توجهی کاهش می دهد.

راهکار سوم نیز تأثیری در جواب‌های به‌دست آمده ندارد و تنها از تشکیل مسیرهای خرابی و کروموزوم‌های تکراری و محاسبات اضافی نظیر آن‌ها جلوگیری می کند.

با استفاده از راهکار چهارم تعداد زیادی از کروموزوم‌هایی که شایستگی مناسبی ندارند، در حین تحلیل یا همان اوایل تحلیل شناسایی می شوند و از محاسبات بیهوده جلوگیری می گردد.

مثال‌های عددی

در همه‌ی مثال‌های ارائه شده به‌جای احتمال خرابی سازه از کران فوقانی کرنل استفاده شده است.

پیش از ارائه‌ی مثال جامع بهینه یابی، ابتدا یک مثال برای ارزیابی راهکارهای اول تا سوم مطرح می شود. در این مثال با استفاده از راهکارهای یادشده احتمال خرابی یک خرپای ۲۵ میله‌ای تعیین می شود و سهم هر یک از راهکارها مشخص می گردد. پس از آن در مثال دوم تأثیر راهکار چهارم در خرپای ۲۵ میله‌ای مثال اول بررسی می شود. سپس با توجه به نتایج حاصل و با استفاده از راهکارهای پیشنهادی مثال بهینه یابی خرپای یادشده تحت قید قابلیت اعتماد بررسی می شود. در مثال بهینه‌یابی متغیرهای طراحی سطح مقطع میله های خرپا و قید مسأله کوچک تر بودن احتمال خرابی سازه از مقدار احتمال خرابی مجاز است. در همه‌ی مثال‌ها (مطابق مطالب یادشده در بخش دوم) متغیرهای تصادفی عبارتند از بارهای وارد بر سازه و مقاومت میله های خرپا. کلیه متغیرهای تصادفی نرمال و غیرهمبسته فرض می شوند.

مثال ۱. خرپای ۲۵ میله‌ای مطابق شکل (۴) مفروض است. سطح مقطع اعضا، مختصات گره‌ها و میانگین بارهای وارد به‌ترتیب در جداول (۳-۵) ارائه شده

با کاهش حدود ۱۰۰ درصد در زمان محاسبات از ۳ (با ساعت به ۲۱/۱ ثانیه) و راهکارهای ۲ و ۳، نتایج تحلیل قابلیت اعتماد بر اساس $\eta=2$ در جدول (۶) ارائه شده است.

جدول ۶ تأثیر راهکارهای پیشنهادی در مثال ۱

راهکار	راهکار ۱	راهکار ۲	راهکار ۳	با هر سه راهکار
زمان محاسبات (ثانیه)	۲۱/۱	۱۲/۷۶	۲۰/۰۱	۱۱/۵۴
تعداد مسیرهای خرابی محتمل	۵۲۰	۵۲۰	۵۲۰	۵۲۰
تعداد تحلیل قابلیت اعتماد	۱۴۹۴	۱۴۹۴	۱۱۸۴	۱۱۸۴

با ملاحظه‌ی نتایج به‌دست آمده از جدول (۶) مشاهده می‌شود که استفاده از راهکارهای ۱، ۲، ۳ و ترکیب آن‌ها باعث کاهش چشم‌گیر زمان محاسبات شده است. بیش‌ترین تأثیر در صورت استفاده از راهکار ۱ به‌دست می‌آید. در صورت استفاده از راهکار ۲ یعنی بهبود روش جبری نیروها، بدون این‌که تغییری در تعداد تحلیل‌ها ایجاد شود زمان محاسبات کاهش یافته است. صرفه‌جویی به‌وجودآمده در اثر استفاده از راهکار ۳ به‌دلیل شناسایی مسیرهای تکراری توسط عامل هوشمند و جلوگیری از محاسبات اضافی است. مراجع [2, 5] احتمال خرابی سیستم سازه‌ای این خریا را مجموع احتمال خرابی اعضا در نظر گرفته و برابر با $10^{-5} \times 10^{-6}$ تعیین کرده‌اند. کران فوقانی احتمال خرابی در این تحقیق برابر با $10^{-6} \times 10^{-6}$ تعیین شد که نسبت به تخمین محافظه‌کارانه‌ی مراجع یادشده بهبود یافته است.

مثال ۲. هدف از ارائه‌ی این مثال بررسی تأثیر راهکار چهارم یعنی استفاده از قید احتمال خرابی مجاز در زمان محاسبات است. بدین منظور خریای ۲۵ میله‌ای مثال (۱) با سه دسته سطح مقطع متفاوت مورد تحلیل

روابط مبتنی بر شرایط ساختمان اولیه نظیر نسبت پوکی، دانسیته‌ی خشک و رطوبت که همگی به‌نوعی بیانگر فاصله‌ی ذرات خاک از یکدیگر و نهایتاً پتانسیل نشست هستند، در تخمین مقدار شاخص فشردگی کارایی بیش‌تری دارند. هم‌چنین روابطی که تنها مبتنی بر جنس و خواص ذرات ریزدانه (نظیر حدود اتربرگ) و بدون توجه به تخلخل اولیه‌ی آن‌ها می‌باشند، از نظر آماری معنی‌دار نیستند و قادر به تخمین درست شاخص فشردگی نمی‌باشند.

جدول ۴ مختصات گره‌ها در مثال ۱ (سانتی‌متر)

شماره‌ی گره	X	Y	Z
۱	۰	۹۵/۲۵	۵۰۸
۲	۰	-۹۵/۲۵	۵۰۸
۳	۹۵/۲۵	۹۵/۲۵	۲۵۴
۴	۹۵/۲۵	-۹۵/۲۵	۲۵۴
۵	-۹۵/۲۵	-۹۵/۲۵	۲۵۴
۶	-۹۵/۲۵	۹۵/۲۵	۲۵۴
۷	۲۵۴	۲۵۴	۰
۸	۲۵۴	-۲۵۴	۰
۹	-۲۵۴	-۲۵۴	۰
۱۰	-۲۵۴	۲۵۴	۰

جدول ۵ داده‌های آماری بارهای وارده مثال ۱ (کیلوگرم)

شماره‌ی گره	جهت X	جهت Y	جهت Z
۱	۸۸۹۰	۸۸۹۰	-۲۲۶۰
۲	-۸۸۹۰	-۸۸۹۰	-۲۲۶۰
۳	۸۸۹۰	۸۸۹۰	۰
۵	-۸۸۹۰	-۸۸۹۰	۰

تحلیل این سازه بدون استفاده از راهکار ۱ حدود ۳ ساعت طول می‌کشد و با جمع چندین میلیون مسیر خرابی که اکثر آن‌ها همبسته است، عددی بسیار محافظه‌کارانه برای کران بالای احتمال خرابی سیستم سازه‌ای تعیین می‌شود. در صورت استفاده از راهکار ۱

در مورد خرابی (ج) پس از تشکیل اولین مسیر خرابی، احتمال آن برابر با 0.37 تعیین می‌شود. با توجه به مفاهیم راهکار چهارم دیگر نیازی به ادامه‌ی تحلیل نیست، زیرا در همین مرحله ناشایسته بودن این خرابا معلوم می‌شود.

در مورد خرابی (الف) با استفاده از مفاهیم راهکار چهارم مسیرهای خرابی بیشتری کنار گذاشته شده است.

مثال ۳. در این مثال با استفاده از راهکارهای پیشنهادی به بهینه‌یابی خرابی 25 میله‌ای مثال ۱ تحت قید قابلیت اعتماد سیستم سازه‌ای پرداخته می‌شود. احتمال خرابی مجاز (قید مسأله) برابر با 1×10^{-5} است. نتایج به‌دست آمده در جدول (۸) با مراجع [2, 5] مقایسه شده است. در مراجع یادشده احتمال خرابی سیستم سازه‌ای در جهت اطمینان برابر با مجموع احتمال خرابی اعضا فرض شده است.

جدول ۸ نتایج بهینه‌یابی مثال ۳ و مقایسه با مراجع دیگر

سطح مقطع (سانتی‌متر مربع)				شماره‌ی عضو
$0.20 = 0.05, CV_L = CV_R$				
مرجع [۲]	a مرجع [۵]	b مرجع [۵]	این تحقیق	
۴/۳۶	۶/۹۰	۴/۳۸۷	۴/۵۶	۱
۴/۵۶	۵/۱۵	۴/۵۸۸	۶/۰۰	۲۰۵
۷/۴۷	۶/۹۰	۷/۴۵۰	۶/۰۰	۳،۴
۲/۳۹	۵/۶۸	۴/۳۷۶	۶/۹۰	۶،۹
۷/۵۲	۹/۵۴	۷/۴۹۶	۶/۹۰	۷،۸
۱/۵۱	۶/۹۰	۲/۲۰۴	۳/۴۸	۱۰،۱۱
۱/۷۷	۳/۱۸	۱/۷۷۸	۲/۵۸	۱۲،۱۳
۴/۸۸	۳/۱۸	۴/۶۰۰	۳/۳۰	۱۴،۱۷
۱/۸۹	۴/۳۱	۲/۱۷۹	۳/۳۰	۱۵،۱۶
۱/۷۸	۲/۷۹	۱/۸۱۰	۱/۸۶	۱۸،۲۱
۲/۶۳	۲/۰۶	۲/۵۹۵	۱/۸۶	۱۹،۲۰
۴/۸۹	۶/۹۰	۴/۹۳۳	۴/۳۸	۲۲،۲۵
۷/۶۶	۹/۵۴	۷/۴۸۳	۴/۳۸	۲۳،۲۴
۹۷/۸	۱۱۸/۷	۹۵/۸۱	۹۱/۹۵	وزن (kg)

قرار می‌گیرد. سطح مقطع خرابی (الف) در جدول (۳) قید شده است. خرابی (ب) دارای میله‌های قوی با سطح مقطع 10 سانتی‌متر مربع و خرابی (ج) دارای میله‌های ضعیف با سطح مقطع 3 سانتی‌متر مربع است. برای صرفه‌جویی در زمان از همه‌ی راهکارهای ۱، ۲ و ۳ (فاز اول) در تعیین احتمال خرابی استفاده می‌شود. مقدار μ و η به ترتیب برابر با ۲ و ۳ در نظر گرفته می‌شود.

جدول ۷ بررسی تأثیر راهکار ۴

		بدون راهکار ۴		با راهکار ۴	
خرابی الف	زمان محاسبات	۱۱/۵۴	۱۰/۸۶		
	تعداد مسیرها	۵۲۰	۴۹۵		
خرابی ب	زمان محاسبات	۰/۴۱	$1/62 \times 10^{-2}$		
	تعداد مسیرها	۱۰	۰		
خرابی ج	زمان محاسبات	$7/86 \times 10^{-2}$	$4/87 \times 10^{-2}$		
	تعداد مسیرها	۴	۱		

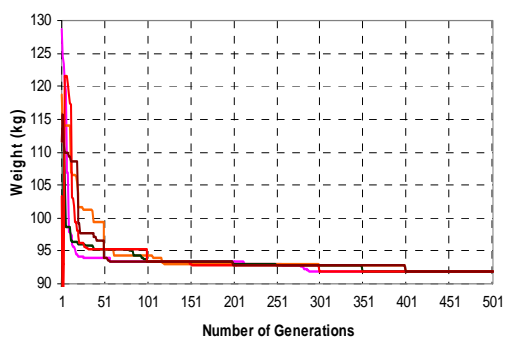
با مشاهده‌ی جدول (۷) اولین نتیجه‌ای که حاصل می‌شود این است که استفاده از راهکار چهارم زمان محاسبات را کاهش می‌دهد. نتیجه‌ی دوم این است که زمان تحلیل دو خرابا با سطح مقطع متفاوت با یکدیگر فرق دارد زیرا مسیرهای خرابی و تعداد مسیرها در دو خرابا با یکدیگر متفاوت است. با اندکی تغییر در سطح مقطع میله‌ها تعداد مسیرها و زمان محاسبات به‌طور چشم‌گیر تغییر می‌کند. این امر در بهینه‌یابی خراباها تحت قید احتمال خرابی تأثیر قابل‌توجهی دارد.

نتیجه‌ی سوم این که تأثیر راهکار چهارم روی دو خرابا با سطح مقطع متفاوت با یکدیگر فرق دارد. دلیل این امر در بخش ۴-۴ بیان شد. در مورد خرابی (ب) که دست بالا طراحی شده است، پس از اولین تحلیل مشخص می‌شود که احتمال خرابی محتمل‌ترین عضو $1/39 \times 10^{-5}$ است. تمامی مسیرهای خرابی که در ادامه‌ی عملیات شاخه‌ای حاصل می‌شوند احتمال کوچک‌تری دارند لذا توسط راهکار چهارم از تولید آن‌ها جلوگیری می‌شود.

با توجه به نتایج جدول فوق استفاده از راهکارهای پیشنهادی باعث کاهش زمان محاسبات شده است، هرچند که سهم آن‌ها متفاوت است.

در هر جزیره تعداد کل کروموزوم‌ها در هر نسل برابر با ۲۰ در نظر گرفته شده است لذا تعداد تحلیل‌ها به ازای ۵۰۰ نسل برابر با ۱۰۰۰۰ می‌شود. این در حالی است که تعداد کروموزوم‌هایی که شایستگی آن‌ها توسط عامل هوشمند فاز دوم مورد ارزیابی قرار می‌گیرد، به طور متوسط برابر با ۵۰۰۰ است. یعنی شایستگی بیش نیمی از کروموزوم‌ها توسط عامل هوشمند فاز سوم تعیین می‌شود و زمان محاسبات به نصف تقلیل می‌یابد. از طرفی میزان کاهش زمان معمولاً بیش‌تر از این مقدار است، چرا که کروموزوم‌هایی توسط عامل هوشمند شناسایی می‌شوند، کروموزوم‌های شایسته هستند. با توجه به مطالب بیان‌شده در بخش ۴-۴ و نتیجه‌ی مثال (۲)، این کروموزوم‌ها زمان بسیار زیادتری نسبت به سایرین صرف می‌کنند. لذا عدم تحلیل این گونه کروموزوم‌ها زمان محاسبات را به حدود یک سوم کاهش می‌دهد.

در شکل (۵) نحوه‌ی همکاری جزایر در یافتن جواب بهینه مربوط به جدول (۸) نمایش داده شده است. همان‌گونه که در شکل مشاهده می‌شود در مراحل اولیه انتقال بین جزایر صورت می‌پذیرد، جهش‌هایی در نمودارها به وجود آمده است. جواب بهینه در نسل ۲۸۸ در یکی از جزایر به دست آمده و در نسل‌های ۳۰۰، ۳۵۰ و ۴۰۰ به جزایر دیگر انتقال داده شده است.



شکل ۵ نحوه‌ی کارکرد جزایر موازی با یکدیگر

با توجه به نتایج جدول (۸) مشاهده می‌شود که در این تحقیق طرح بهینه‌ی مطلوب‌تری نسبت به مراجع [2, 5] به دست آمده است. دلیل این امر تخمین به‌تر نسبت به این مراجع برای احتمال خرابی سیستم سازه‌ای و استفاده از الگوریتم ژنتیک جزیره‌ای است. شایان ذکر است که متغیرهای طراحی در این تحقیق از نوع گسسته و در مراجع [2, 5] از نوع گسسته و پیوسته است. جواب‌های بدست آمده در هر صورت از هر دو حالت مراجع یادشده به‌تر است. اکنون برای ارزیابی راهکارهای پیشنهادی و سهم آن‌ها در تسریع عملیات بهینه‌یابی، زمان محاسبات ۵۰۰ نسل الگوریتم ژنتیک با استفاده از هر یک در جدول (۹) ارائه می‌شود.

ذکر دو نکته در مورد اعداد این جدول ضروری است. نکته‌ی اول این‌که زمان‌های درج‌شده در این جدول مربوط به کندترین پردازشگر (جزیره) است. علی‌رغم استفاده از پردازشگرهای یکسان (مطابق جدول ۱)، با توجه به تفاوت کروموزوم‌های این جزایر، زمان بهینه‌یابی در این جزایر متفاوت است.

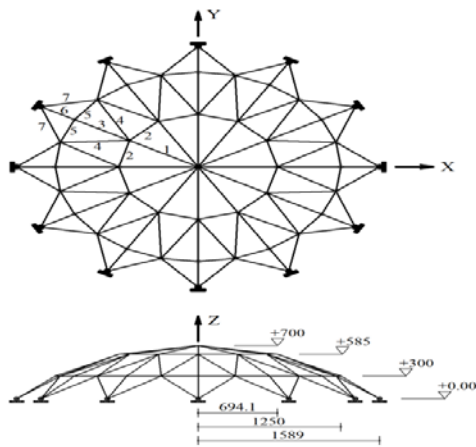
نکته دوم این‌که در دو بار بهینه‌یابی تحت قید قابلیت اعتماد سیستم سازه‌ای با شرایط کاملاً یکسان، ممکن است زمان محاسبات متفاوت باشد. دلیل این امر مجدداً تفاوت کروموزوم‌ها است. بنابراین زمان‌های قیدشده در جدول (۹) قطعی نمی‌باشد، بلکه تنها معیاری برای مقایسه است.

جدول ۹ تأثیر راهکارهای پیشنهادی در مثال ۳

راهکار	زمان محاسبات (ثانیه)
۴، ۱	۵۹۶۵۵
۴، ۲، ۱	۳۳۷۰۸
۴، ۳، الف، ۱	۴۸۸۸۲
۴، ۲، الف، ۳، ۱	۲۵۰۰۷
۴، ۲، الف، ۳، ب، ۱	۷۸۷۸

کشش و فشار یکسان فرض می‌شود. به کلیه‌ی نقاط آزاد این گنبد (نقاط غیر تکیه‌گاهی) بار قائم وارد می‌شود. میانگین بار قائم وارد بر تاج این گنبد برابر ۶۰ کیلو نیوتن، بارهای وارد به گره‌های تراز میانی ۳۰ کیلو نیوتن و بارهای وارد به گره‌های تراز تحتانی ۱۰ کیلو نیوتن فرض می‌شود. ضریب پراکندگی کلیه‌ی بارها ۰/۱ است. میانگین و ضریب پراکندگی مقاومت تسلیم اعضا به ترتیب برابر با ۲۷۶۰ کیلوگرم بر سانتی‌متر مربع و ۰/۰۳ است.

تحلیل این سازه نیز همانند خرپای ۲۵ میله‌ای بدون استفاده از راهکار اول ساعت‌ها به طول می‌انجامد و از سوی دیگر جمع احتمال وقوع چندین میلیون مسیر خرابی که اکثر آن‌ها همبسته است، عددی بسیار محافظه‌کارانه برای کران بالای احتمال خرابی سیستم سازه‌ای نتیجه می‌دهد. در حالی که در صورت استفاده از راهکار ۱ زمان محاسبات به ۲۴۴۷/۹ ثانیه کاهش می‌یابد. هم‌چنین کران فوقانی احتمال خرابی با استفاده از تکنیک‌های پیشنهادی برابر با $10^{-6} \times 0.0794$ محاسبه می‌شود که مراتب کوچک‌تر و به‌تر از مجموع احتمال خرابی اعضا یعنی $10^{-4} \times 3/296$ است. نتایج تحلیل قابلیت اعتماد این خرپا با استفاده از راهکارهای پیشنهادی دوم سوم در جدول ۱۲ ارائه شده است. اعداد این جدول بر اساس $\eta = 2$ به‌دست آمده است.



شکل ۶ گنبد ۱۲۰ میله‌ای مثال ۴

برای بررسی و مقایسه‌ی بیش‌تر، نتایج بهینه‌یابی خرپای ۲۵ میله‌ای به‌زای ضرایب پراکندگی مختلف بار و مقاومت در جدول (۱۰) ارائه شده است.

جدول ۱۰ اثر ضرایب پراکندگی در خرپای مثال ۳

شماره‌ی عضو	$CV_R: 0.10$ $CV_L: 0.40$		$CV_R: 0.03$ $CV_L: 0.40$	
	این تحقیق	مرجع [۵]	این تحقیق	مرجع [۵]
۱	۸/۲	۷/۹۸۳	۷/۵	۶/۴۱۸
۲،۵	۸/۸	۸/۸۳۴	۷/۵	۷/۴۷۹
۳،۴	۸/۸	۱/۲۰۱	۷/۵	۹/۸۳۹
۶،۹	۱۰/۹	۹/۱۷۴	۱۰/۵	۷/۷۳۴
۷،۸	۱۰/۹	۱۲/۶۵۴	۱۰/۵	۱/۰۳۵
۱۰،۱۱	۴/۰	۴/۳۷۹	۴/۵	۳/۷۹۷
۱۲،۱۳	۴/۰	۲/۳۹۹	۳/۹	۲/۶۷۹
۱۴،۱۷	۴/۶	۷/۸۷۲	۵/۷	۶/۶۲۵
۱۵،۱۶	۴/۶	۴/۴۲۹	۵/۷	۳/۳۴۸
۱۸،۲۱	۳/۷	۵/۱۳۶	۳/۶	۳/۵۰۱
۱۹،۲۰	۳/۷	۵/۴۳۵	۳/۶	۵/۱۹۸
۲۲،۲۵	۱۱/۲	۱۰/۶۳۸	۷/۵	۹/۴۴۰
۲۳،۲۴	۱۱/۲	۱۳/۹۷۷	۷/۵	۱۲/۰۱۹
وزن (kg)	۱۵۸/۱۳	۱۸۳/۸۹	۱۴۳/۷۸	۱۵۳/۱۳

با توجه به جدول (۱۰) ملاحظه می‌شود که وزن خرپای بهینه در این تحقیق در تمامی حالات کاهش یافته است. هم‌چنین با نگاه کلی به نتایج این جداول و جدول (۸) مشاهده می‌شود که هر چه ضرایب پراکندگی بار و مقاومت بیش‌تر شوند، وزن خرپای بهینه افزایش می‌یابد.

مثال ۴. در این مثال ابتدا تأثیر راهکارهای پیشنهادی در تحلیل قابلیت اعتماد گنبد ۱۲۰ میله‌ای (مطابق شکل ۶) ارزیابی می‌شود و پس از آن به بهینه‌یابی این سازه با استفاده از راهکارهای ارائه‌شده پرداخته می‌شود. ابعاد نشان داده‌شده در شکل مذکور بر حسب سانتی‌متر است. اعضای سازه مطابق شکل مذکور گروه‌بندی شده و سطح مقطع نظیر آن‌ها در جدول (۱۱) ارائه شده است. تنش تسلیم اعضا و بارهای وارد متغیرهای تصادفی نرمال غیرهمبسته است و رفتار مصالح در

جدول ۱۱ سطح مقطع اعضای گروه گنبد مثال ۴

شماره گروه	سطح مقطع (سانتیمتر مربع)
۱	۲/۲۰
۲	۵/۴۰
۳	۲/۲۰
۴	۴/۸۰
۵	۴/۰۰
۶	۴/۶۰
۷	۳/۰۰

حال با استفاده از این راهکارها به بهینه‌یابی گنبد ۱۲۰ میله‌ای تحت قید قابلیت اعتماد پرداخته می‌شود. احتمال خرابی مجاز (قید مسأله) برابر با 1×10^{-5} است. در مسأله‌ی بهینه‌یابی مقاومت میله‌ی متغیرهای تصادفی با توزیع لوگ نرمال و ضریب همبستگی برابر با ۰/۵ فرض می‌شود. هم‌چنین بارهای وارده به سازه همگی متغیرهای تصادفی کاملاً همبسته و با توزیع نرمال در نظر گرفته می‌شوند.

هدف از ارائه‌ی این مثال اثبات عملی بودن امر بهینه‌یابی خرابی‌های بزرگ تحت قید قابلیت اعتماد سازه‌ای است که با استفاده از راهکارهای پیشنهادی ممکن می‌گردد. تعداد تحقیقات انجام‌شده (در زمینه‌ی بهینه‌یابی تحت قید احتمال خرابی سیستم سازه‌ای) که در آن‌ها به‌صورت موفقیت‌آمیز به حل مثال‌های عددی بزرگ پرداخته شود کم بوده و تنها قاب‌ها و خرابی‌های بسیار کوچک مورد بهینه‌سازی قرار گرفته است [33]. در این مثال هم‌چنین سعی شده است از فرضیاتی واقعی‌تر در مورد نوع توزیع و همبستگی متغیرهای تصادفی استفاده شود.

در این مثال از پنچ پردازشگر موازی در امر بهینه‌یابی استفاده شد. در هر جزیره تعداد کل کروموزوم‌ها در هر نسل برابر با ۲۰ در نظر گرفته شده است لذا تعداد کل کروموزوم‌ها به‌ازای ۵۰۰ نسل برابر با ۱۰۰۰۰ می‌شود. تنها تحلیل یک کروموزوم بدون استفاده از راهکار اول چندین ساعت طول می‌کشد و به‌همین دلیل در تحقیقات گذشته کم‌تر به بهینه‌سازی چنین سازه‌هایی اقدام شده است. از لیست مقاطع زیر در امر بهینه‌یابی استفاده می‌شود:

$$S = \left\{ \begin{array}{l} 2.2, 2.4, 2.6, 2.8, 3.0, 3.2, 3.4, 3.6, \\ 3.8, 4.0, 4.2, 4.4, 4.6, 4.8, 5.0, 5.2 \\ 5.4, 5.6, 5.8, 6.0, 6.2, 6.4, 6.6, 6.8, \\ 7.0, 7.2, 7.4, 7.6, 7.8, 8.0, 8.2, 8.4 \end{array} \right\} (Cm^2)$$

تعداد کروموزوم‌هایی که شایستگی آن‌ها توسط عامل هوشمند فاز دوم مورد ارزیابی قرار می‌گیرد،

جدول ۱۲ تأثیر برخی راهکارهای پیشنهادی در مثال ۴

	راهکار ۱	راهکار ۱ و ۲	راهکار ۱ و ۲ و ۳	با هر سه راهکار
زمان محاسبات (ثانیه)	۲۴۴۷/۹	۱۲۵/۳	۲۲۶۶/۱	۱۱۶/۰
تعداد مسیرهای خرابی محتمل	۴۸۰	۴۸۰	۴۸۰	۴۸۰
تعداد تحلیل قابلیت اعتماد	۲۴۷۳	۲۴۷۳	۲۳۴۷	۲۳۴۷

بارزترین نکته‌ای که از جدول (۱۲) استنباط می‌شود این است که استفاده از راهکار دوم یعنی روش بهبود یافته‌ی نیروها تأثیر بسیاری بر زمان تحلیل داشته است. سازه‌ی گنبدی مورد بحث ۱۱۱ درجه آزادی فعال گرهی و تنها ۹ درجه نامعینی استاتیکی دارد. این بدان معناست که در روش سختی دستگاه معادلات 111×111 باید حل شود در حالی که در روش نرمی پیشنهادی تنها به حل معادلات 9×9 احتیاج است. این تفاوت فاحش با توجه به کثرت دفعات تحلیل تأثیر بسیار مطلوبی داشته و حدود ۹۵ درصد زمان برنامه (بدون هیچ تغییری در تعداد مسیرهای خرابی یا در جواب مسأله) ذخیره شده است.

تعداد تحلیل‌های قابلیت اعتماد با توجه عملکرد عامل هوشمند فاز اول از ۲۴۷۳ به ۲۳۴۷ کاهش یافته است.

سریع تر عملیاتی چون رتبه‌بندی کروموزوم‌ها، ادغام و برای ۲۰ کروموزوم نسبت به ۱۰۰ کروموزوم است و نتیجه‌ی به‌دست آمده مجدداً این است که زمان محاسبات در پردازش موازی جزیره‌ای رابطه‌ای معکوس و خطی با تعداد پردازشگرها دارد.

نتیجه‌گیری

در این تحقیق برای تسریع در روند تعیین مسیره‌ای خرابی محتمل و احتمال خرابی سیستم سازه‌ای سه راهکار و برای تسریع در امر بهینه‌یابی یک راهکار ارائه شد.

در راهکار اول، ابتدا احتمال وقوع یک مسیر خرابی با کوچک‌ترین احتمال مشترک هر یک از اعضای آن مسیر با اولین عضو تخمین زده شد. پس از آن از تولید شاخه‌های منشعب از عضوی که کوچک‌ترین احتمال مشترک را داشته‌است، جلوگیری گردید. دلیل این امر وابستگی این مسیرها بوده‌است و تولید آن‌ها چیزی به اجتماع رویدادهای خرابی سازه اضافه نمی‌کند. جلوگیری از تولید این گونه مسیرها دو مزیت مهم به دنبال داشت. اول این که تعداد زیادی از مسیرهای همبسته‌ی دیگر در جمع احتمال مسیره‌ای خرابی شرکت نکرد و کران بالای کوچک‌تری برای احتمال خرابی سیستم سازه‌ای به‌دست آمد. مزیت دوم به‌طور بدیهی کاهش حجم و زمان محاسبات بود. استفاده از این راهکار علاوه بر باریک کردن کرانه‌های احتمال خرابی، زمان محاسبات را از ۵۰ تا نزدیک به ۱۰۰ درصد کاهش داد. مجدداً یادآوری می‌شود که زمان تحلیل قابلیت اعتماد بدون استفاده از این راهکار معمولاً چندین ساعت است و لذا کاهش این زمان به چندین ثانیه به‌معنی کاهش حدود صد در صد است.

در این تحقیق به‌عنوان راهکار دوم روشی سریع برای تحلیل خرابی با توپولوژی متغیر و استفاده از آن در تحلیل قابلیت اعتماد ارائه شد. این امر با ایجاد بهبود

به‌طور متوسط برابر با ۵۵۰۰ است. بنابراین مشابه آن‌چه در مثال قبل ذکر شد شایستگی بیش از نیمی از کروموزوم‌ها توسط عامل هوشمند فاز دوم تعیین می‌شود و زمان محاسبات به مراتب بیش از نصف تقلیل می‌یابد. عدم تحلیل تکراری این کروموزوم‌ها زمان محاسبات را به حدود یک سوم کاهش می‌دهد.

همان‌گونه که مشاهده شد تأثیر استفاده از روش جبری نیروها حدود ۹۵ درصد است و لذا در امر بهینه‌یابی از این روش به‌جای روش سختی استفاده شده است. هم‌چنین از همه‌ی عوامل هوشمند مصنوعی در این مثال استفاده شده است.

مشخصات سازه‌ی بهینه‌ی به‌دست آمده در نسل ۴۴۴ مطابق با جدول (۱۳) است. کران فوقانی و تحتانی احتمال خرابی سیستم سازه‌ای بهینه به ترتیب برابر $9/807 \times 10^{-6}$ و $6/749 \times 10^{-6}$ به‌دست می‌آید.

جدول ۱۳ سطح مقطع سازه‌ی بهینه در مثال ۴

شماره گروه	سطح مقطع (سانتی‌متر مربع)
۱	۲/۲
۲	۴/۴
۳	۲/۸
۴	۲/۲
۵	۲/۲
۶	۳/۸
۷	۲/۲
وزن (kg)	۴۳۰/۲۳۳

در این مثال برای تعیین زمان صرفه‌جویی شده در اثر استفاده از پردازش موازی، از حالت ساده‌ی الگوریتم یعنی از یک پردازشگر استفاده شد و هر ۱۰۰ کروموزوم در یک جزیره بهینه شدند. زمان محاسبات در این حالت به کمی بیش‌تر از ۵ برابر حالت موازی افزایش یافت. دلیل این امر مشابه مثال قبل، انجام

بود. از عامل هوشمند فاز دوم برای شناسایی کروموزوم‌های شایسته‌ی تکراری و تعیین شایستگی آن‌ها استفاده شد. همان‌گونه که بیان شد تحلیل این گونه کروموزوم‌ها زمان بسیار بیش‌تری نسبت به سایر کروموزوم‌ها صرف می‌کند. مطابق نتایج به‌دست آمده تأثیر این عامل هوشمند از عامل فاز اول به‌مراتب بیش‌تر بوده است. با استفاده از عامل هوشمند فاز دوم حدود ۷۰ درصد در زمان محاسبات صرفه‌جویی به‌دست آمد.

با استفاده از راهکار چهارم این تحقیق کروموزوم‌هایی که شایستگی کمی دارند در حین تحلیل و حتی در همان اوایل تحلیل شناسایی می‌شوند. کروموزوم‌هایی که احتمال خرابی آن‌ها به مقدار قابل توجهی با مقدار مجاز احتمال خرابی (قید طراحی) فاصله دارد در همان اوایل تحلیل شناخته می‌شوند و تحلیل آن‌ها زودتر از موعد مقرر پایان می‌یابد. استفاده از این راهکار باعث کوتاه شدن زمان تحلیل شد.

در روابط روش جبری نیروها حاصل شد. تحلیل خرابی با روش مرسوم سختی نیازمند حل دستگاه معادلات با اندازه‌ی تعداد درجات آزادی فعال گرهی است در حالی که در روش نرمی اندازه‌ی دستگاه معادلات به درجات نامعینی خرابی کاهش می‌یابد. در اکثر موارد تعداد درجات نامعینی کوچک‌تر از تعداد درجات آزادی فعال گرهی است. مزیت دیگر روش جبری نیروها نسبت به روش مرسوم سختی این است که نیروها به طور مستقیم و بدون واسطه تعیین می‌شود. با توجه به دفعات بسیار زیاد تحلیل خرابی در تعیین مسیرهای خرابی، استفاده از روش نرمی پیشنهادی باعث صرفه‌جویی قابل توجه ۲۰ تا ۹۵ درصدی در زمان محاسبات شد.

در این تحقیق به‌عنوان راهکار سوم از عامل هوشمند در دو فاز استفاده شد. از عامل هوشمند فاز اول در ذخیره‌سازی، شناسایی و کنترل مسیرهای خرابی استفاده شد که نتیجه‌ی آن جلوگیری از انجام عملیات بی‌هوده و تکراری و کاهش زمان محاسبات

مراجع

۱. کاوه، ع. و کلات جاری، و.ر. «نظریه قابلیت اعتماد و کاربرد آن در مهندسی سازه»، دانشگاه علم و صنعت ایران. چاپ اول ۱۳۷۳.
2. Thoft-ChriStensen P., Murotsu, Y., "Application of Structural Systems Reliability Theory", Springer-Verlag, Berlin Heidelberg, New York, Tokyo, (1986).
3. Melchers, R.E., Tang, L. K., "Dominant failure modes in stochastic structural systems", *Struct. Safety*, 2, pp. 127-143, (1984).
4. Xiao, Q., Mahadevan, S., "Fast failure mode identification for ductile structural system reliability", *Struct. Safty*, 13, pp. 207-226, (1994).
5. Togan, V., Daloglu, A., "Optimum design of a truss system under the constraint of failure probability", *ARI, the Bulletin of the Istanbul Technical University*, Volume 54, Number 5, (2005).
6. Togan, V., Daloglu, A. "Reliability and reliability - based design optimization", *Turkish J. Eng. Env. Sci.*, pp. 237-249, (2006).
۷. مستخدمین حسینی م. ر.، «بهینه‌یابی سازه‌های خرابی براساس نظریه‌ی قابلیت اعتماد با استفاده از الگوریتم وراثتی اصلاح‌شده» پایان‌نامه کارشناسی ارشد، استاد راهنما: محمدرضا قاسمی، دانشکده عمران دانشگاه سیستان و بلوچستان، (۱۳۸۵)
8. Kaveh, A., Kalatjari, V., "Genetic algorithm for discrete-sizing optimal design of trusses using the

- force method", *Int. J. Numer. Methods Eng.*, 55, pp 55-72, (2002).
9. Kaveh, A., Kalatjari, V., "Size/Geometry Optimization of Trusses by the Force Method and Genetic Algorithm", *Z. Angew. Math. Mech.*, 84, pp. 347-357, (2004).
 10. Ranganathan, R., "Reliability Analysis & Design of Structures", McGraw-Hill, New Delhi, India, (2009).
 11. Nowak, A.S., Collins, K.R., "Reliability of Structures", McGraw-Hill, International Edition, University of Michigan, USA, (2000).
 12. Murotsu, Y., Okada, H., Yonezawa, M. Taguchi, K., "Reliability Assessment of Redundant Structure", 3rd Int. Conf. Struct. Safety Reliability (ed. Moan, T. & Shinozuka, M.), Elsevier, pp. 315-329, (1981).
 13. Kaveh, A., "Structural Mechanics: Graph and Matrix Methods (3rd edn)". Research Studies Press (John Wiley), Somerset, UK, (2004).
 14. Kaveh, A., "Optimal Structural Analysis", Research Studies Press (John Wiley), Chichester, UK, (2006).
 15. Rahami, H., Kaveh, A., Gholipour, Y., "Sizing, geometry and topology optimization of trusses via force method and genetic algorithm", *Eng. Struct.*, 30(9), pp. 2360-2369, (2008).
۱۶. کاوه ع.، نوید احسانی . ف. کلات جاری و. ر. «صلبیت توپولوژیکی سازه‌های مستوی و فضایی با استفاده از روش‌های گراف تئوریک و جبری»، انتشارات مرکز تحقیقات ساختمان و مسکن، (۱۳۸۳).
17. Kaneko, I., Lawo, M., Thierauf, G., "On computational procedures for the force methods", *Int. J. Numer. Meths Eng.*, 18, pp. 1469-1495, (1982).
 18. Chapra, S.C., Raymond, P.C., "Numerical Methods in Engineering", New York, McGraw Hill, (1988).
 19. Holland, J.H., "Adaptation in Natural and Artificial Systems", MIT Press, Cambridge, MA, (1992).
 20. Goldberg, D.E., "Genetic Algorithms in Search, Optimization and Machine Learning", Addison-Wesley, Reading, MA, (1989).
 21. Rajeev, S., Krishnamoorthy, C. S., "Discrete optimization of structures using Genetic algorithms", *J. Struct. Eng.*, ASCE, 118, pp. 1233-1250, (1992).
 22. Jenkins W. M., "A decimal-coded evolutionary algorithm for constrained optimization", *Comput. Struct.*, 80, pp. 471-480, (2002).
 23. Toğan, V., aloglu, T. A., "An improved genetic algorithm with initial population strategy and self-adaptive member grouping". *Comput. Struct.*, 86, pp. 1204-1218, (2008).
 24. Tanimura, Y., Hiroyasu, T., Miki, M. , "Discussion on Distributed Genetic Algorithms for Designing Truss Structures". The 5th Int. Conf. Exhibition on High Performance Comput. Asia-Pacific Region, Queensland Australia, (2001).
 25. Thierauf, G., Cai, J., "Parallelization of the Evolution Strategy for Discrete Structural Optimization Problems". *Computer-Aided Civil Infrastruct. Eng.*, 13, pp. 23-30, (1998).
 26. Rajan, S. D., Nguyen, D.T., "Design optimization of discrete structural systems using MPI-enabled genetic algorithm", *Struct. Multidisc. Optim.*, 28, pp. 340-348, (2004).
 27. Ghazi, A., Banan M.R., Ashrafizadeh, M., "Optimum Design of Space Truss Structures Using

- Parallel Genetic Algorithm", 6th Int. Conf. Civil Eng. (ICCE 2003), Isfahahn – Iran, 5-7 May, (2003).
28. Miki, M., Hiroyasu, T., Kaneko, M., Hatanaka, K., "A parallel genetic algorithm with distributed environment scheme", in: Proc. IEEE Conf. Syst. Man Cybernetics, IEEE Press, pp. 695–700, (1999).
29. Miki, M., Hiroyasu, T., Hatanaka, K., "Parallel genetic algorithms with distributed-environment multiple population scheme", In: 3rd WCSMO World Congress Struct. Multidiscip., (1999).
30. Kojima, K., Ishigame, M., Chakraborty, G., Hatsuo, H., Makino S., "Asynchronous Parallel Distributed Genetic Algorithm with Elite Migration", Int. J. Comput. Intelligence, 4, 2, (2008).
۳۱. کلات جاری و. ر. ، طالب پور م. ح.، «آموزش کاهش تأثیر پارامترهای الگوریتم ژنتیک در بهینه‌یابی سطح مقطع و توپولوژی سازه‌های خریایی توسط روش جستجوی چندمنظوره»، نشریه‌ی علمی پژوهشی فن‌آوری آموزش، سال چهارم، جلد چهارم، شماره ۱، (پاییز ۱۳۸۸).
32. Neapolitan, R., Naimipour, K., "Foundations of Algorithms Using C++ Pseudocode", Third Edition, Jones and Bartlett Publishers, (2004).
33. Tsompanakis, Y., Papadrakakis, M., "Large-scale reliability-based structural optimization", Struct. Multidiscip. Optim., 26, pp. 429–440, (2004).